Introduction

Sur la minimisation de l'énergie de Canham-Helfrich

Sur la minimisation de la courbure moyenne totale

Condition de boule uniforme et existence de formes optimales

Conclusion

ETUDE DE FONCTIONNELLES GÉOMÉTRIQUES DÉPENDANT DE LA COURBURE PAR DES MÉTHODES D'OPTIMISATION DE FORMES Applications aux fonctionnelles de Willmore et Canham-Helfrich

JÉRÉMY DALPHIN (Institut Elie Cartan de Lorraine, Nancy) en collaboration avec Antoine Henrot et Takéo Takahashi



Journées des Jeunes EDPistes Français



Mardi 31 mars 2015

Introduction : optimisation de formes et géométrie

Dans la nature, la modélisation de nombreux phénomènes physiques s'effectue sous forme d'une minimisation d'énergie :

$$\inf_{\Omega\in\mathcal{A}\cap\mathcal{C}}\mathcal{E}\left(\Omega
ight)$$



Introduction : optimisation de formes et géométrie

Dans la nature, la modélisation de nombreux phénomènes physiques s'effectue sous forme d'une minimisation d'énergie :

$$\inf_{\Omega\in\mathcal{A}\cap\mathcal{C}}\mathcal{E}\left(\Omega
ight)$$



- $\mathcal{E}:\Omega\mapsto\mathcal{E}(\Omega)$ représente le critère à minimiser, c'est une fonctionnelle de forme dépendant de la géométrie de l'objet;
- A est la classe des formes admissibles;
- ullet C désigne l'ensemble des contraintes à satisfaire.

Introduction : optimisation de formes et géométrie

Dans la nature, la modélisation de nombreux phénomènes physiques s'effectue sous forme d'une minimisation d'énergie :

$$\inf_{\Omega\in\mathcal{A}\cap\mathcal{C}}\mathcal{E}\left(\Omega\right)$$



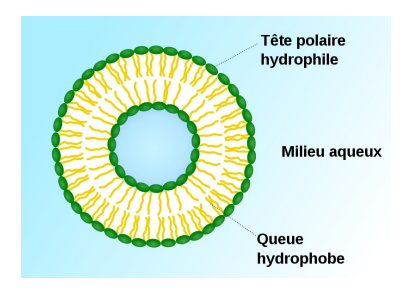
- $\mathcal{E}: \Omega \mapsto \mathcal{E}(\Omega)$ représente le critère à minimiser, c'est une fonctionnelle de forme dépendant de la géométrie de l'objet;
- A est la classe des formes admissibles;
- ullet C désigne l'ensemble des contraintes à satisfaire.

Beaucoup d'applications : problèmes isopérimétriques/de valeurs propres, surfaces minimales, segmentation d'images, détection de défauts/fissures, renforcement/isolation des structures, mélange de matériaux, aéronautique, ...

2 / 44

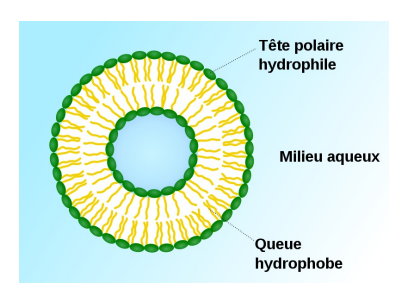
Motivation de départ : la modélisation des vésicules en biologie.

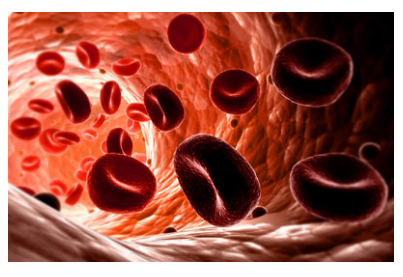
- Qu'est-ce qu'une vésicule?
- ⇒ C'est un assemblage de phospholipides en milieu aqueux.



Motivation de départ : la modélisation des vésicules en biologie.

- Qu'est-ce qu'une vésicule?
- ⇒ C'est un assemblage de phospholipides en milieu aqueux.

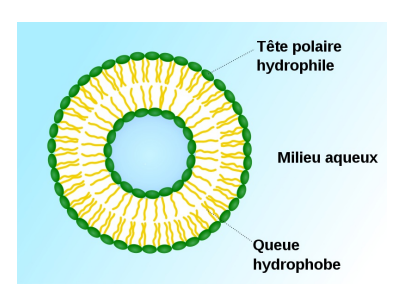


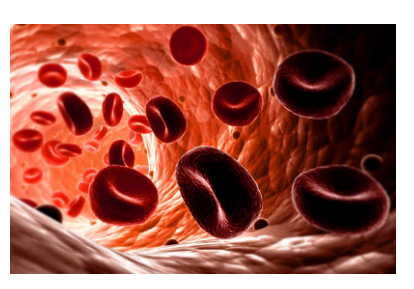


Un exemple de vésicule : le globule rouge chez les mammifères.

Motivation de départ : la modélisation des vésicules en biologie.

- Qu'est-ce qu'une vésicule?
- ⇒ C'est un assemblage de phospholipides en milieu aqueux.





Un exemple de vésicule : le globule rouge chez les mammifères.

- C'est la membrane de base à toutes les cellules du vivant.
- Le globule rouge = une vésicule + un squelette de protéines.

Introduction : optimisation de formes et géométrie Etude et analyse de vésicules par l'optimisation de formes Présentation d'un modèle 2D simplifie La modélisation physique de Canham-Helfrich (1970-1973) Apports et plan de l'exosé

Etude et analyse de vésicules par l'optimisation de formes

• On s'intéresse aux formes que peuvent prendre les vésicules.



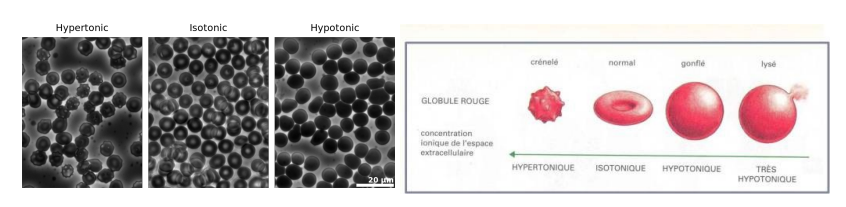
Introduction : optimisation de formes et géométrie Etude et analyse de vésicules par l'optimisation de formes Présentation d'un modèle 2D simplifie La modélisation physique de Canham-Helfrich (1970-1973) Apports et plan de l'exosé

Etude et analyse de vésicules par l'optimisation de formes

• On s'intéresse aux formes que peuvent prendre les vésicules.



Prise en compte des effets du squelette chez les globules rouges.



Introduction : optimisation de formes et géométrie Etude et analyse de vésicules par l'optimisation de formes Présentation d'un modèle 2D simplifié La modélisation physique de Canham-Helfrich (1970-1973 Apports et plan de l'exposé

Etude et analyse de vésicules par l'optimisation de formes

Le point de vue : leur forme est la solution d'un problème d'optimisation

$$\exists \Omega^* \in \mathcal{A} \cap \mathcal{C}, \quad \mathcal{E}(\Omega^*) = \min_{\Omega \in \mathcal{A} \cap \mathcal{C}} \mathcal{E}(\Omega).$$

Le point de vue : leur forme est la solution d'un problème d'optimisation

$$\exists \Omega^* \in \mathcal{A} \cap \mathcal{C}, \quad \mathcal{E}(\Omega^*) = \min_{\Omega \in \mathcal{A} \cap \mathcal{C}} \mathcal{E}(\Omega).$$

- Quelle type d'énergie élastique doit-on considérer?
- \implies Une modélisation physique de ${\mathcal E}$ est nécessaire.

Le point de vue : leur forme est la solution d'un problème d'optimisation

$$\exists \Omega^* \in \mathcal{A} \cap \mathcal{C}, \quad \mathcal{E}(\Omega^*) = \min_{\Omega \in \mathcal{A} \cap \mathcal{C}} \mathcal{E}(\Omega).$$

- Quelle type d'énergie élastique doit-on considérer?
- \implies Une modélisation physique de ${\mathcal E}$ est nécessaire.
 - Parmi quelles formes doit-on minimiser cette énergie?
- ⇒ Seront admissibles les surfaces qui sont "comme" la sphère :

$$\mathcal{A} = \left\{ \Omega \subseteq \mathbb{R}^3, \quad \partial \Omega \text{ surface } C^{1,1} \text{ compacte simplement connexe} \right\}.$$

Introduction : optimisation de formes et géométrie Etude et analyse de vésicules par l'optimisation de formes Présentation d'un modèle 2D simplifié La modélisation physique de Canham-Helfrich (1970-1973 Apports et plan de l'exposé

Etude et analyse de vésicules par l'optimisation de formes

Le point de vue : leur forme est la solution d'un problème d'optimisation

$$\exists \Omega^* \in \mathcal{A} \cap \mathcal{C}, \quad \mathcal{E}(\Omega^*) = \min_{\Omega \in \mathcal{A} \cap \mathcal{C}} \mathcal{E}(\Omega).$$

- Quelle type d'énergie élastique doit-on considérer?
- \implies Une modélisation physique de ${\mathcal E}$ est nécessaire.
 - Parmi quelles formes doit-on minimiser cette énergie?
- ⇒ Seront admissibles les surfaces qui sont "comme" la sphère :

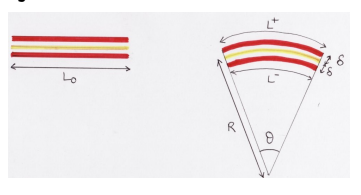
$$\mathcal{A} = \left\{\Omega \subseteq \mathbb{R}^3, \quad \partial\Omega \text{ surface } \textit{\textbf{C}}^{1,1} \text{ compacte simplement connexe}\right\}.$$

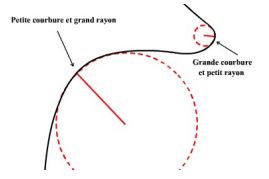
- Quelles sont les différentes contraintes à considérer?
- ⇒ L'aire de la membrane et le volume de fluide qu'elle contient :

$$C = \{\Omega \in \mathcal{A}, |\partial \Omega| = A_0 \text{ et } |\Omega| = V_0\}.$$

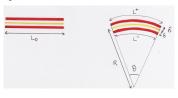
Introduction : optimisation de formes et géométrie Etude et analyse de vésicules par l'optimisation de formes Présentation d'un modèle 2D simplifié La modélisation physique de Canham-Helfrich (1970-1973 Apports et Daln de l'exposé

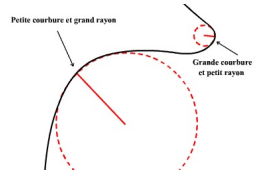
Présentation d'un modèle 2D simplifié



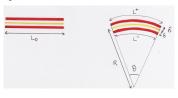


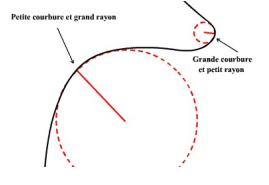
• Objectif : modéliser l'influence de la courbure en terme d'énergie.



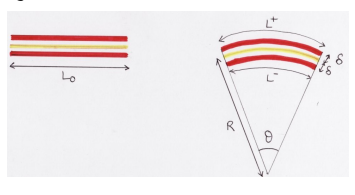


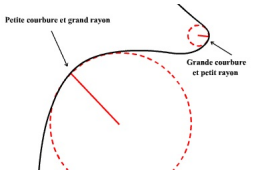
• **Problème**: les queues disposent de $L_0=R\theta$ pour s'agencer alors que les têtes seulement de $L^\pm=(R\pm\delta)\theta$.



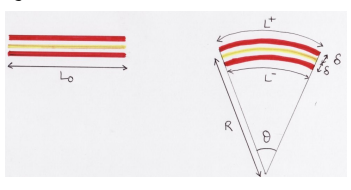


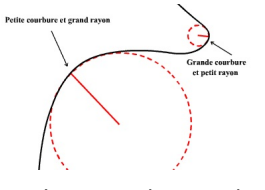
- **Problème**: les queues disposent de $L_0 = R\theta$ pour s'agencer alors que les têtes seulement de $L^{\pm} = (R \pm \delta)\theta$.
- **Hypothèse**: la force F^{\pm} nécessaire pour comprimer/étirer les couches est celle d'un élastique c'est-à-dire $F^{\pm}=k\frac{d^{\pm}}{L_0}$.





- **Problème**: les queues disposent de $L_0 = R\theta$ pour s'agencer alors que les têtes seulement de $L^{\pm} = (R \pm \delta)\theta$.
- **Hypothèse**: la force F^{\pm} nécessaire pour comprimer/étirer les couches est celle d'un élastique c'est-à-dire $F^{\pm}=k\frac{d^{\pm}}{l_0}$.
- Conséquence : l'énergie associée vaut alors $E^\pm:=\frac{1}{2}F^\pm d^\pm=k_b\frac{L_0}{2R^2}$





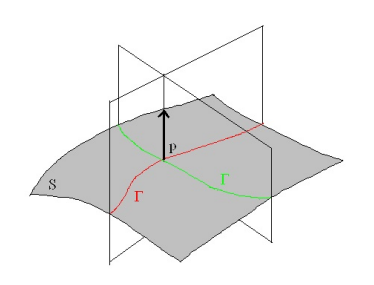
- **Problème**: les queues disposent de $L_0 = R\theta$ pour s'agencer alors que les têtes seulement de $L^{\pm} = (R \pm \delta)\theta$.
- **Hypothèse**: la force F^{\pm} nécessaire pour comprimer/étirer les couches est celle d'un élastique c'est-à-dire $F^{\pm}=k\frac{d^{\pm}}{L_0}$.
- Conséquence : l'énergie associée vaut alors $E^\pm:=\frac{1}{2}F^\pm d^\pm=k_b\frac{L_0}{2R^2}.$
- Conclusion : l'énergie d'une portion (infinitésimale) de membrane vaut $E:=E^++E^-=k_b\frac{L_0}{R^2}$ et l'énergie totale $\mathcal E$ de la vésicule

$$\mathcal{E} := \int_{\text{membrane}} E = k_b \int_{\text{membrane}} \frac{L_0}{R^2} = k_b \int_{\text{membrane}} \kappa^2 ds$$

La modélisation physique de Canham-Helfrich (1970-1973)

Le passage à la 3D : la courbure moyenne et la courbure de Gauss.

- Le raisonnement précédent se généralise dans l'espace.
- Remplacer la courbure $\kappa = \frac{1}{R}$ par la courbure moyenne H.

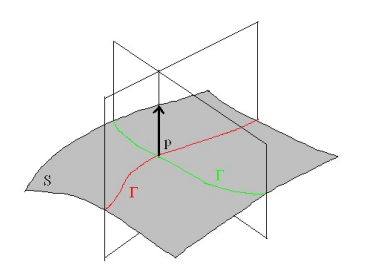


$$\left\{ \begin{array}{l} H=\kappa_1+\kappa_2=\frac{1}{R_1}+\frac{1}{R_2} \\ \\ K=\kappa_1\cdot\kappa_2=\frac{1}{R_1}\cdot\frac{1}{R_2} \end{array} \right.$$

La modélisation physique de Canham-Helfrich (1970-1973)

Le passage à la 3D : la courbure moyenne et la courbure de Gauss.

- Le raisonnement précédent se généralise dans l'espace.
- Remplacer la courbure $\kappa = \frac{1}{R}$ par la courbure moyenne H.



$$\begin{cases} H = \kappa_1 + \kappa_2 = \frac{1}{R_1} + \frac{1}{R_2} \\ K = \kappa_1 \cdot \kappa_2 = \frac{1}{R_1} \cdot \frac{1}{R_2} \end{cases}$$

Ce sont la trace et le déterminant de $\mathrm{D} \mathbf{n}$ représenté dans sa base de diagonalisation où $\mathbf{n}:\mathbf{p}\in\mathcal{S}\mapsto\mathbf{n}\left(\mathbf{p}\right)\in\mathbb{S}^2$ désigne l'application de Gauss.

Introduction: optimisation de formes et géométrie Etude et analyse de vésicules par l'optimisation de formes Présentation d'un modèle 2D simplifié La modélisation physique de Canham-Helfrich (1970-1973) Apports et plan de l'evaposé

La modélisation physique de Canham-Helfrich (1970-1973)

L'aire ainsi que le volume de fluide qu'elle contient étant imposés, une vésicule minimise l'énergie élastique suivante :

$$\mathcal{E} := \frac{k_b}{2} \int_{\text{membrane}} (H - H_0)^2 dA + k_G \int_{\text{membrane}} K dA.$$

La modélisation physique de Canham-Helfrich (1970-1973)

L'aire ainsi que le volume de fluide qu'elle contient étant imposés, une vésicule minimise l'énergie élastique suivante :

$$\mathcal{E} := \frac{k_b}{2} \int_{\text{membrane}} (H - H_0)^2 dA + k_G \int_{\text{membrane}} K dA.$$

- La courbure spontanée : $H_0 \propto A_{\rm ext} A_{\rm int}$.
- ⇒ Elle caractérise l'asymétrie de la bicouche.

Introduction: optimisation de formes et géométrie Etude et analyse de vésicules par l'optimisation de formes Présentation d'un modèle 2D simplifié La modélisation physique de Canham-Helfrich (1970-1973) Apports et plan de l'exode

La modélisation physique de Canham-Helfrich (1970-1973)

L'aire ainsi que le volume de fluide qu'elle contient étant imposés, une vésicule minimise l'énergie élastique suivante :

$$\mathcal{E} := \frac{k_b}{2} \int_{\text{membrane}} (H - H_0)^2 dA + k_G \int_{\text{membrane}} K dA.$$

- La courbure spontanée : $H_0 \propto A_{\rm ext} A_{\rm int}$.
- ⇒ Elle caractérise l'asymétrie de la bicouche.
- Les modules de flexion : $k_G < 0 < k_b$.
- \implies La semi-continuité (varifolds) est assurée pour $-2k_b < k_G < 0$.

Théorème (Gauss-Bonnet)

Pour toute $C^{1,1}$ -surface $\Sigma\subset\mathbb{R}^3$ connexe compacte de genre $g\in\mathbb{N}$, on a :

$$\int_{\Sigma} K dA = 4\pi (1-g).$$

Apports et plan de l'exposé

Question : le problème d'optimisation suivant possède-t-il un minimum ? A-t-on choisi la bonne énergie \mathcal{E} , la bonne classe d'objets \mathcal{A} ?

$$\inf_{\substack{\Omega \subset \mathbb{R}^3, \partial\Omega \simeq \mathbb{S}^2 \\ A(\partial\Omega) = A_0 \\ V(\Omega) = V_0}} \frac{1}{4} \int_{\partial\Omega} (H - H_0)^2 dA$$

Apports et plan de l'exposé

Question : le problème d'optimisation suivant possède-t-il un minimum ? A-t-on choisi la bonne énergie \mathcal{E} , la bonne classe d'objets \mathcal{A} ?

$$\inf_{\substack{\Omega \subset \mathbb{R}^3, \partial\Omega \simeq \mathbb{S}^2 \\ A(\partial\Omega) = A_0 \\ V(\Omega) = V_0}} \frac{1}{4} \int_{\partial\Omega} (H - H_0)^2 dA$$

Des axes de recherche possibles et soulevés par le modèle :

- existence, unicité, propriétés, régularité des minimiseurs;
- simulations numériques adéquates (méthodes level-set, phase-field);
- couplage de la structure avec la dynamique d'un fluide;
- rhéologie d'une multitude de vésicules dans un écoulement;
- contrôler la forme à partir d'une partie du bord.

Introduction: optimisation de formes et géométrie Etude et analyse de vésicules par l'optimisation de formes Présentation d'un modèle 2D simplifié La modélisation physique de Canham-Helfrich (1970-1973 Apports et plan de l'exposé

Apports et plan de l'exposé

- **Sans contrainte/Avec une contrainte d'aire :** minimiser Helfrich.
- → Optimalité de la sphère (minimum global/local, point critique).

Apports et plan de l'exposé

- **Sans contrainte/Avec une contrainte d'aire :** minimiser Helfrich.
- → Optimalité de la sphère (minimum global/local, point critique).

$$\frac{1}{4} \int_{\Sigma} (H - H_0)^2 dA = \frac{1}{4} \int_{\Sigma} H^2 dA - \frac{H_0}{2} \int_{\Sigma} H dA + \frac{H_0^2 A_0}{4}.$$

② Cas H₀ < **0** : si sphère optimale pour $\int H$, alors aussi pour Helfrich.

Apports et plan de l'exposé

- **Sans contrainte/Avec une contrainte d'aire :** minimiser Helfrich.
- \implies Optimalité de la sphère (minimum global/local, point critique).

$$\frac{1}{4} \int_{\Sigma} (H - H_0)^2 dA = \frac{1}{4} \int_{\Sigma} H^2 dA - \frac{H_0}{2} \int_{\Sigma} H dA + \frac{H_0^2 A_0}{4}.$$

- **Q** Cas $H_0 < 0$: si sphère optimale pour $\int H$, alors aussi pour Helfrich.
- ⇒ Etude d'un autre problème d'optimisation :

$$\inf_{A(\Sigma)=A_0}\frac{1}{2}\int_{\Sigma}HdA.$$

Introduction : optimisation de formes et géométrie Etude et analyse de vésicules par l'optimisation de formes Présentation d'un modèle 2D simplifié La modélisation physique de Canham-Helfrich (1970-1973 Apports et plan de l'exposé

Apports et plan de l'exposé

- Sans contrainte/Avec une contrainte d'aire : minimiser Helfrich.
- → Optimalité de la sphère (minimum global/local, point critique).

$$\frac{1}{4} \int_{\Sigma} (H - H_0)^2 dA = \frac{1}{4} \int_{\Sigma} H^2 dA - \frac{H_0}{2} \int_{\Sigma} H dA + \frac{H_0^2 A_0}{4}.$$

- **Q** Cas $H_0 < 0$: si sphère optimale pour $\int H$, alors aussi pour Helfrich.
- ⇒ Etude d'un autre problème d'optimisation :

$$\inf_{A(\Sigma)=A_0}\frac{1}{2}\int_{\Sigma}HdA.$$

Aire et volume fixés : existence théorique car sphère plus solution.

Apports et plan de l'exposé

- Sans contrainte/Avec une contrainte d'aire : minimiser Helfrich.
- → Optimalité de la sphère (minimum global/local, point critique).

$$\frac{1}{4} \int_{\Sigma} (H - H_0)^2 dA = \frac{1}{4} \int_{\Sigma} H^2 dA - \frac{H_0}{2} \int_{\Sigma} H dA + \frac{H_0^2 A_0}{4}.$$

- **② Cas H**₀ < **0** : si sphère optimale pour $\int H$, alors aussi pour Helfrich.
- ⇒ Etude d'un autre problème d'optimisation :

$$\inf_{A(\Sigma)=A_0}\frac{1}{2}\int_{\Sigma}HdA.$$

- Aire et volume fixés : existence théorique car sphère plus solution.
- ⇒ Une condition de boule uniforme qui assure l'existence pour :

$$\inf_{\Omega} \int_{\partial\Omega} j\left[\mathbf{x}, \mathbf{n}_{\partial\Omega}\left(\mathbf{x}\right), H_{\partial\Omega}\left(\mathbf{x}\right), K_{\partial\Omega}\left(\mathbf{x}\right), u_{\Omega}\left(\mathbf{x}\right), \nabla u_{\Omega}\left(\mathbf{x}\right)\right] dA\left(\mathbf{x}\right).$$



Le cas sans contrainte : la sphère est-elle optimale?

Théorème (Alexandrov, 1962)

Soient $H_0 > 0$ et $\Sigma \subset \mathbb{R}^3$ une C^2 -surface connexe compacte. Alors, on a :

$$\frac{1}{4}\int_{\Sigma}\left(H-H_{0}\right)^{2}dA\geqslant0,$$

avec égalité ssi Σ est une sphère de rayon $2/H_0$.

Le cas sans contrainte : la sphère est-elle optimale?

Le cas sans contrainte : la sphère est-elle optimale?

Théorème (Alexandrov, 1962)

Soient $H_0 > 0$ et $\Sigma \subset \mathbb{R}^3$ une C^2 -surface connexe compacte. Alors, on a :

$$\frac{1}{4}\int_{\Sigma}\left(H-H_{0}\right)^{2}dA\geqslant0,$$

avec égalité ssi Σ est une sphère de rayon $2/H_0$.

Théorème (Willmore, 1982)

Soit $\Sigma \subset \mathbb{R}^3$ une C^2 -surface compacte connexe. Alors, on a :

$$\frac{1}{4}\int_{\Sigma}H^{2}dA\geqslant 4\pi,$$

avec égalité ssi Σ est une sphère.

Le cas sans contrainte : la sphère est-elle optimale?

Le cas sans contrainte : la boule est-elle optimale?

Proposition

Soit $H_0 < 0$. Pour toute C^2 -surface $\Sigma \subset \mathbb{R}^3$ connexe et compacte, on a :

$$\frac{1}{4}\int_{\Sigma}\left(H-H_{0}\right)^{2}dA>4\pi,$$

et l'énergie $\frac{1}{4} \int (H - H_0)^2 dA$ associée à la suite de sphères $(\mathbb{S}_a)_{a>0}$ tend vers $4\pi^+$ quand leur rayon $a \to 0^+$.

Le cas sans contrainte : la boule est-elle optimale?

Proposition

Soit $H_0 < 0$. Pour toute C^2 -surface $\Sigma \subset \mathbb{R}^3$ connexe et compacte, on a :

$$\frac{1}{4}\int_{\Sigma}\left(H-H_{0}\right)^{2}dA>4\pi,$$

et l'énergie $\frac{1}{4} \int (H - H_0)^2 dA$ associée à la suite de sphères $(\mathbb{S}_a)_{a>0}$ tend vers $4\pi^+$ quand leur rayon $a \to 0^+$.

Preuve: adapter les arguments utilisés par Willmore dans le cas $H_0 = 0$.

Arguments: $H^2 - 4K = (\kappa_1 - \kappa_2)^2 \ge 0$ + formule de l'aire + surjectivité de l'application de Gauss sur $\{x \in \Sigma, K \ge 0 \text{ et } H \ge 0\}$.

$$\int_{\Sigma} \left(H-H_0\right)^2 \geqslant \int_{H\geqslant 0} \left(H-H_0\right)^2 \ > \ \int_{H\geqslant 0} H^2 \geqslant 4 \int_{\substack{H\geqslant 0 \\ K\geqslant 0}} K \geqslant 4(4\pi).$$

Le cas sans contrainte : la boule est-elle optimale?

En résumé : sans contrainte, le problème de la minimisation de l'énergie de Helfrich est résolu parmi les C^2 -surfaces connexes compactes de \mathbb{R}^3

$$\inf_{\Sigma} \frac{1}{4} \int_{\Sigma} (H - H_0)^2 dA.$$

		$H_0 < 0$	$H_0 = 0$	$H_0 > 0$
Ī	Existence	pas de minimiseur	les sphères	sphère de rayon $2/H_0$
	Helfrich	4π	4π	0

Le cas sans contrainte : la boule est-elle optimale?

En résumé : sans contrainte, le problème de la minimisation de l'énergie de Helfrich est résolu parmi les C^2 -surfaces connexes compactes de \mathbb{R}^3

$$\inf_{\Sigma} \frac{1}{4} \int_{\Sigma} (H - H_0)^2 dA.$$

	$H_0 < 0$	$H_0 = 0$	$H_0 > 0$
Existence	pas de minimiseur	les sphères	sphère de rayon $2/H_0$
Helfrich	4π	4π	0

Remarques :

• Même résultats pour Canham-Helfrich avec $k_G < 0 < k_b$.

$$\inf_{\Sigma} \frac{k_b}{2} \int_{\Sigma} (H - H_0)^2 dA + k_G \int_{\Sigma} K dA.$$

• Le cas $H_0 = 0$ reste vrai parmi les $C^{1,1}$ -surfaces simplement connexes compactes de \mathbb{R}^3 .

Avec une contrainte d'aire : la sphère est-elle optimale?

Avec une contrainte d'aire : la sphère est-elle optimale?

On se ramène à \mathbb{S}^2 avec un seul paramètre adimensionnel $c_0 := \frac{H_0}{2} \sqrt{\frac{A_0}{4\pi}}$:

$$\inf_{A(\Sigma)=A_0} \frac{1}{4} \int_{\Sigma} (H - H_0)^2 dA = \inf_{A(\Sigma)=4\pi} \frac{1}{4} \int_{\Sigma} (H - 2c_0)^2 dA.$$

Avec une contrainte d'aire : la sphère est-elle optimale?

Avec une contrainte d'aire : la sphère est-elle optimale?

On se ramène à \mathbb{S}^2 avec un seul paramètre adimensionnel $c_0 := \frac{H_0}{2} \sqrt{\frac{A_0}{4\pi}}$:

$$\inf_{A(\Sigma)=A_0} \frac{1}{4} \int_{\Sigma} (H - H_0)^2 dA = \inf_{A(\Sigma)=4\pi} \frac{1}{4} \int_{\Sigma} (H - 2c_0)^2 dA.$$

Paramètre $c_0 = \frac{H_0}{2} \sqrt{\frac{A_0}{4\pi}}$	$-\infty$	<i>C</i> _		0		1		c_+	$+\infty$
\mathbb{S}_{A_0} minimum global?	NON	[?	[OUI]	?]	NON

Avec une contrainte d'aire : la sphère est-elle optimale?

Avec une contrainte d'aire : la sphère est-elle optimale?

On se ramène à \mathbb{S}^2 avec un seul paramètre adimensionnel $c_0 := \frac{H_0}{2} \sqrt{\frac{A_0}{4\pi}}$:

$$\inf_{A(\Sigma)=A_0} \frac{1}{4} \int_{\Sigma} (H - H_0)^2 dA = \inf_{A(\Sigma)=4\pi} \frac{1}{4} \int_{\Sigma} (H - 2c_0)^2 dA.$$

Paramètre $c_0 = \frac{H_0}{2} \sqrt{\frac{A_0}{4\pi}}$	$-\infty$	<i>C</i> _		0		1		c_+	$+\infty$
\mathbb{S}_{A_0} minimum global?	NON	[?	[OUI]	?]	NON

Proposition

Soient $A_0 > 0$ et $H_0 \in \mathbb{R}$ tel que $c_0 \in [0,1]$. Alors, la sphère \mathbb{S}_{A_0} est l'unique minimiseur global de :

$$\inf_{A(\Sigma)=A_0}\frac{1}{4}\int_{\Sigma}\left(H-H_0\right)^2dA.$$

Avec une contrainte d'aire : cas où la sphère est optimale

Preuve : elle est basée sur l'inégalité de Cauchy-Schwartz. On a :

$$\frac{1}{4} \int_{\Sigma} (H - H_0)^2 dA = \frac{1}{4} \int_{\Sigma} H^2 dA - \frac{H_0}{2} \int_{\Sigma} H dA + \frac{H_0^2 A_0}{4} \\
\geqslant \frac{1}{4} \int_{\Sigma} H^2 dA - |H_0| \sqrt{A_0} \sqrt{\frac{1}{4} \int_{\Sigma} H^2 dA} + \frac{H_0^2 A_0}{4} \\
= 4\pi \left(\sqrt{\frac{\frac{1}{4} \int_{\Sigma} H^2 dA}{4\pi}} - |c_0| \right)^2.$$

Avec une contrainte d'aire : cas où la sphère est optimale

Preuve : elle est basée sur l'inégalité de Cauchy-Schwartz. On a :

$$\frac{1}{4} \int_{\Sigma} (H - H_0)^2 dA = \frac{1}{4} \int_{\Sigma} H^2 dA - \frac{H_0}{2} \int_{\Sigma} H dA + \frac{H_0^2 A_0}{4}
\geqslant \frac{1}{4} \int_{\Sigma} H^2 dA - |H_0| \sqrt{A_0} \sqrt{\frac{1}{4} \int_{\Sigma} H^2 dA} + \frac{H_0^2 A_0}{4}
= 4\pi \left(\sqrt{\frac{\frac{1}{4} \int_{\Sigma} H^2 dA}{4\pi}} - |c_0| \right)^2.$$

En utilisant Willmore $\frac{1}{4}\int_{\Sigma}H^2dA \geqslant 4\pi$ et l'hypothèse $c_0 \in [0,1]$, on a :

$$\frac{1}{4} \int_{\Sigma} (H - H_0)^2 \, dA \quad \geqslant \quad 4\pi \, (1 - c_0)^2 \quad = \quad \frac{1}{4} \int_{\mathbb{S}_{A_0}} (H - H_0)^2 \, dA.$$

Avec une contrainte d'aire : cas où la sphère est optimale

Preuve : elle est basée sur l'inégalité de Cauchy-Schwartz. On a :

$$\frac{1}{4} \int_{\Sigma} (H - H_0)^2 dA = \frac{1}{4} \int_{\Sigma} H^2 dA - \frac{H_0}{2} \int_{\Sigma} H dA + \frac{H_0^2 A_0}{4}$$

$$\geqslant \frac{1}{4} \int_{\Sigma} H^2 dA - |H_0| \sqrt{A_0} \sqrt{\frac{1}{4} \int_{\Sigma} H^2 dA} + \frac{H_0^2 A_0}{4}$$

$$\left(\sqrt{\frac{1}{4} \int_{\Sigma} H^2 dA} \right)^2$$

$$= 4\pi \left(\sqrt{\frac{\frac{1}{4}\int_{\Sigma}H^2dA}{4\pi}}-|c_0|\right)^2.$$

En utilisant Willmore $\frac{1}{4}\int_{\Sigma}H^2dA\geqslant 4\pi$ et l'hypothèse $c_0\in[0,1]$, on a :

$$\frac{1}{4} \int_{\Sigma} (H - H_0)^2 \, dA \quad \geqslant \quad 4\pi \, (1 - c_0)^2 \quad = \quad \frac{1}{4} \int_{\mathbb{S}_{A_0}} (H - H_0)^2 \, dA.$$

Cas d'égalité: on a donc $\frac{1}{4} \int_{\Sigma} H^2 dA = 4\pi$ ce qui assure $\Sigma \equiv \mathbb{S}_{A_0}$.

Avec une contrainte d'aire : minimiser parmi les cigares

Avec une contrainte d'aire : minimiser parmi les cigares

Définition

On appelle cigare tout cylindre de longueur $L \geqslant 0$ sur lequel on a recollé de manière $C^{1,1}$ deux demi-sphères de rayon R > 0.



Proposition

Soient $A_0>0$ et $H_0>0$. On pose $c_+=\frac{1}{4}\left(1+\sqrt{2}\right)^2$ et \mathbb{C}_{R_-} le cigare d'aire A_0 et de rayon $R_-=\sqrt{\frac{A_0}{3\pi}}\cos\left[\frac{1}{3}\arccos\left(\frac{-3}{H_0}\sqrt{\frac{3\pi}{A_0}}\right)+\frac{4\pi}{3}\right]$. On a :

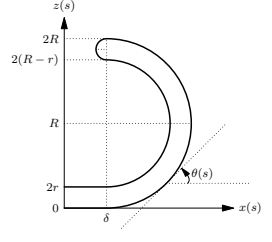
Paramètre $c_0 = \frac{H_0}{2} \sqrt{\frac{A_0}{4\pi}}$	0	$c_+ \sim 1.46$	$+\infty$
Cigare minimiseur	\mathbb{S}_{A_0}	\mathbb{S}_{A_0} et \mathbb{C}_{R}	$\mathbb{C}_{R_{-}}$

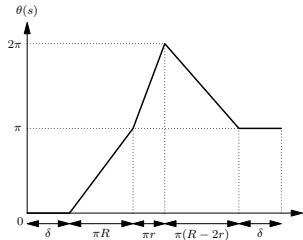
Avec une contrainte d'aire : sphère versus double-sphère

Proposition

Soient $A_0 > 0$ et $H_0 < 0$. On pose $c_- = \frac{1}{8\cos\theta} \sim -0.575$, où θ est l'unique solution de tan x = x sur $]\pi, \frac{3\pi}{2}[$. Alors il existe une suite $(\Sigma_r)_{r>0}\subset\mathbb{R}^3$ de $C^{1,1}$ -surfaces axisymétriques telles que :

$$\frac{1}{4} \int_{\Sigma_r} (H - H_0)^2 dA - \frac{1}{4} \int_{\mathbb{S}_{A_0}} (H - H_0)^2 dA \quad \underset{r \to 0^+}{\longrightarrow} \quad 8\pi \left(c_0 - c_- \right).$$





Minimiser parmi les convexes : l'inégalité de Minkowski

• Rappel des motivations : minimiser Helfrich + aire fixée + $H_0 < 0$.

$$\frac{1}{4} \int_{\Sigma} \left(H - H_0 \right)^2 dA \, \geqslant \, \frac{1}{4} \int_{\mathbb{S}_{A_0}} H^2 dA \, - \, H_0 \inf_{A(\Sigma) = A_0} \frac{1}{2} \int_{\Sigma} H dA \, + \, \frac{H_0^2 A_0}{4}$$

Minimiser parmi les convexes : l'inégalité de Minkowski

• Rappel des motivations : minimiser Helfrich + aire fixée + $H_0 < 0$.

$$\frac{1}{4} \int_{\Sigma} \left(H - H_0 \right)^2 dA \, \geqslant \, \frac{1}{4} \int_{\mathbb{S}_{A_0}} H^2 dA - \, H_0 \inf_{A(\Sigma) = A_0} \frac{1}{2} \int_{\Sigma} H dA + \frac{H_0^2 A_0}{4}$$

- Si la sphère est optimale pour $\int H$, alors aussi pour Helfrich.
- ⇒ Etude de la courbure moyenne totale :

$$\inf_{A(\Sigma)=A_0}\frac{1}{2}\int_{\Sigma}HdA.$$

Minimiser parmi les convexes : l'inégalité de Minkowski

• Rappel des motivations : minimiser Helfrich + aire fixée + $H_0 < 0$.

$$\frac{1}{4} \int_{\Sigma} \left(H - H_0 \right)^2 dA \, \geqslant \, \frac{1}{4} \int_{\mathbb{S}_{A_0}} H^2 dA - \, H_0 \inf_{A(\Sigma) = A_0} \frac{1}{2} \int_{\Sigma} H dA + \, \frac{H_0^2 A_0}{4}$$

- Si la sphère est optimale pour $\int H$, alors aussi pour Helfrich.
- ⇒ Etude de la courbure moyenne totale :

$$\inf_{A(\Sigma)=A_0}\frac{1}{2}\int_{\Sigma}HdA.$$

Théorème (Minkowski, 1901-1903)

Pour tout ouvert non-vide $\Omega\subset\mathbb{R}^3$ borné convexe telle que $\partial\Omega$ soit une C^2 -surface :

$$M(\Omega) := \frac{1}{2} \int_{\partial \Omega} H dA \geqslant \sqrt{4\pi A(\partial \Omega)},$$

avec égalité ssi Ω est une boule.

Minimiser dans la classe des axiconvexes

Définition

Une $C^{1,1}$ -surface axisymétrique est dite axiconvexe si elle est générée par une fonction θ à valeurs dans $[0,\pi]$.

Minimiser dans la classe des axiconvexes

Définition

Une $C^{1,1}$ -surface axisymétrique est dite axiconvexe si elle est générée par une fonction θ à valeurs dans $[0,\pi]$.

Autre caractérisations: $s \mapsto z(s)$ est croissant, Σ est convexe dans une direction orthogonal à l'axe de révolution (l'intersection avec un plan orthogonal à l'axe est vide ou un cercle).

Minimiser dans la classe des axiconvexes

Définition

Une $C^{1,1}$ -surface axisymétrique est dite axiconvexe si elle est générée par une fonction θ à valeurs dans $[0,\pi]$.

Autre caractérisations : $s \mapsto z(s)$ est croissant, Σ est convexe dans une direction orthogonal à l'axe de révolution (l'intersection avec un plan orthogonal à l'axe est vide ou un cercle).

Exemples : convexe + axisymétrique \subset axiconvexe \subset axisymétrique.









Minimiser dans la classe des axiconvexes

Théorème (D., Henrot, Masnou, Takahashi)

Soit $\Sigma \subset \mathbb{R}^3$ une $C^{1,1}$ -surface axiconvexe. Alors on a :

$$\frac{1}{2}\int_{\Sigma}HdA\geqslant\sqrt{4\pi A\left(\Sigma\right)},$$

avec égalité ssi ∑ est une sphère.

Minimiser dans la classe des axiconvexes

Théorème (D., Henrot, Masnou, Takahashi)

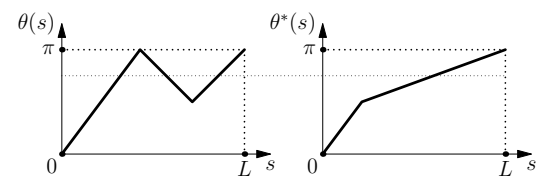
Soit $\Sigma \subset \mathbb{R}^3$ une $C^{1,1}$ -surface axiconvexe. Alors on a :

$$\frac{1}{2}\int_{\Sigma}HdA\geqslant\sqrt{4\pi A\left(\Sigma\right)},$$

avec égalité ssi ∑ est une sphère.

<u>Preuve</u> : utiliser un réarrangement croissant de la fonction θ :

$$\forall s \in [0, L], \ \theta^*(s) = \sup\{c \in [0, \pi], \ s \in [L - |u \geqslant c|, L]\}$$



Minimiser parmi les convexes : l'inégalité de Minkowski Minimiser dans la classe des auxiconvexes Minimiser dans la classe des surfaces Concernant l'optimalité de la sphère Minimiser d'apptimalité de la sphère Minimiser d'apptimalité de la sphère avisumétriques

Minimiser dans la classe des axiconvexes

Proposition (Propriétés du réarrangement croissant)

- **1** L'application θ^* est croissante, de même module de Lipschitz que θ .
- ② Pour tout $F: \mathbb{R}_+ \to \mathbb{R}$ continue, $\int_0^L F[\theta(s)] ds = \int_0^L F[\theta^*(s)] ds$.
- **3** Pour tout $F: \mathbb{R}_+ \to \mathbb{R}_+$ continue strict. croissant, $[F(\theta)]^* = F(\theta^*)$.
- **1** Inégalité de Hardy-Littlewood : $\int_0^L \theta_1(s)\theta_2(s)ds \leqslant \int_0^L \theta_1^*(s)\theta_2^*(s)ds$

Minimiser dans la classe des axiconvexes

Proposition (Propriétés du réarrangement croissant)

- **1** L'application θ^* est croissante, de même module de Lipschitz que θ .
- ② Pour tout $F: \mathbb{R}_+ \to \mathbb{R}$ continue, $\int_0^L F[\theta(s)] ds = \int_0^L F[\theta^*(s)] ds$.
- **3** Pour tout $F: \mathbb{R}_+ \to \mathbb{R}_+$ continue strict. croissant, $[F(\theta)]^* = F(\theta^*)$.
- **1** Inégalité de Hardy-Littlewood : $\int_0^L \theta_1(s)\theta_2(s)ds \leqslant \int_0^L \theta_1^*(s)\theta_2^*(s)ds$
- Vérifier que θ^* génère une $C^{1,1}$ -surface axisymétrique convexe Σ^* .

Minimiser dans la classe des axiconvexes

Proposition (Propriétés du réarrangement croissant)

- **1** L'application θ^* est croissante, de même module de Lipschitz que θ .
- ② Pour tout $F: \mathbb{R}_+ \to \mathbb{R}$ continue, $\int_0^L F[\theta(s)] ds = \int_0^L F[\theta^*(s)] ds$.
- **3** Pour tout $F: \mathbb{R}_+ \to \mathbb{R}_+$ continue strict. croissant, $[F(\theta)]^* = F(\theta^*)$.
- **1** Inégalité de Hardy-Littlewood : $\int_0^L \theta_1(s)\theta_2(s)ds \leqslant \int_0^L \theta_1^*(s)\theta_2^*(s)ds$
- Vérifier que θ^* génère une $C^{1,1}$ -surface axisymétrique convexe Σ^* .
- \bullet Comparer les courbures moyennes totales de Σ et Σ^* :

$$\frac{1}{2}\int_{\Sigma} H dA = \frac{1}{2}\int_{\Sigma^*} H dA \geqslant \sqrt{4\pi A(\Sigma^*)} \ (\geqslant \sqrt{4\pi A(\Sigma)}).$$

Minimiser dans la classe des axiconvexes

Proposition (Propriétés du réarrangement croissant)

- **1** L'application θ^* est croissante, de même module de Lipschitz que θ .
- ② Pour tout $F: \mathbb{R}_+ \to \mathbb{R}$ continue, $\int_0^L F[\theta(s)] ds = \int_0^L F[\theta^*(s)] ds$.
- **3** Pour tout $F: \mathbb{R}_+ \to \mathbb{R}_+$ continue strict. croissant, $[F(\theta)]^* = F(\theta^*)$.
- **1** Inégalité de Hardy-Littlewood : $\int_0^L \theta_1(s)\theta_2(s)ds \leqslant \int_0^L \theta_1^*(s)\theta_2^*(s)ds$
- Vérifier que θ^* génère une $C^{1,1}$ -surface axisymétrique convexe Σ^* .
- Comparer les courbures moyennes totales de Σ et Σ^* :

$$\frac{1}{2}\int_{\Sigma} H dA = \frac{1}{2}\int_{\Sigma^*} H dA \geqslant \sqrt{4\pi A(\Sigma^*)} \ (\geqslant \sqrt{4\pi A(\Sigma)}).$$

• Comparer les aires (inégalité de Hardy-Littlewood) + cas d'égalité :

$$\frac{L^2}{2} + \frac{A(\Sigma)}{2\pi} = \int_0^L s(1-\cos\theta(s))ds \leqslant \int_0^L s(1-\cos\theta^*(s))ds.$$

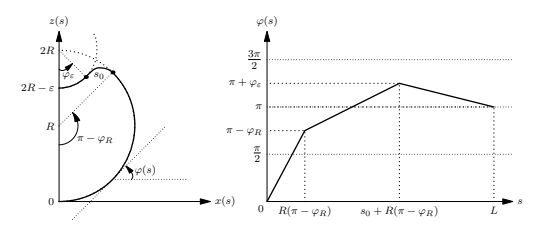
Minimiser dans la classe des surfaces

Théorème (D., Henrot, Masnou, Takahashi)

Soit $A_0>0$. Il existe une suite $(\Sigma_{\varepsilon})_{\varepsilon>0}$ de $C^{1,1}$ -surfaces satisfaisant :

$$\forall \varepsilon>0, \quad A\left(\Sigma_{\varepsilon}\right)=A_{0} \quad \mathrm{et} \quad \frac{1}{2}\int_{\Sigma_{\varepsilon}} HdA \underset{\varepsilon\to 0^{+}}{\longrightarrow} -\infty.$$

Preuve:
$$\frac{1}{2} \int H dA = 4\pi R - \pi \left(2 - \frac{\pi}{2}\right) \varepsilon + o(\varepsilon)$$
, $A(\Sigma_{\varepsilon}) = 4\pi R^2 + \pi \varepsilon^2 + o(\varepsilon^2)$.



Faire des trous $N_{\varepsilon} \sim \frac{1}{\varepsilon^2}$ puis homothétie tel que $A(\Sigma_{\varepsilon}) = A_0$ et $\int H dA \sim -\frac{1}{\varepsilon}$.

Concernant l'optimalité de la sphère

Proposition

Soit $A_0 > 0$. Concernant le problème d'optimisation :

$$\inf_{A(\Sigma)=A_0}\frac{1}{2}\int_{\Sigma}\textit{Hd}A,$$

- la sphère est un minimiseur local vis-à-vis de toute C²-perturbations;
- la sphère est l'unique point critique parmi les surfaces de classe C^3 .

Concernant l'optimalité de la sphère

Proposition

Soit $A_0 > 0$. Concernant le problème d'optimisation :

$$\inf_{A(\Sigma)=A_0}\frac{1}{2}\int_{\Sigma}HdA,$$

- la sphère est un minimiseur local vis-à-vis de toute C²-perturbations;
- la sphère est l'unique point critique parmi les surfaces de classe C^3 .

<u>Preuve :</u>

- Les variations premières de $\frac{1}{2} \int H dA$ et $\int 1 dA$ donne $2K = \lambda H$.
- $H^2 \geqslant K$ + arguments de continuité $\Longrightarrow \lambda > 0$ et K > 0 (convexe).
- <u>Calcul de λ </u>: $\frac{1}{2} \int H dA = \frac{4\pi}{\lambda} = \lambda A_0$ (égalité dans Minkowski).

Minimiser dans la classe des surfaces axisymétriques

Théorème (Simon, 1973, et Topping, 2008)

Soit $\Sigma \subset \mathbb{R}^3$ une C^2 -surface compacte connexe. Alors, on a :

$$\frac{1}{2}\int_{\Sigma}|H|dA\geqslant\sqrt{\frac{\pi}{2}A(\Sigma)}.$$

Minimiser dans la classe des surfaces axisymétriques

Théorème (Simon, 1973, et Topping, 2008)

Soit $\Sigma \subset \mathbb{R}^3$ une C^2 -surface compacte connexe. Alors, on a :

$$\frac{1}{2}\int_{\Sigma}|H|dA\geqslant\sqrt{\frac{\pi}{2}A(\Sigma)}.$$

 \implies Nouveau problème à considérer : $\inf_{A(\Sigma)=A_0} \frac{1}{2} \int_{\Sigma} |H| dA$.

Minimiser dans la classe des surfaces axisymétriques

Théorème (Simon, 1973, et Topping, 2008)

Soit $\Sigma \subset \mathbb{R}^3$ une C^2 -surface compacte connexe. Alors, on a :

$$\frac{1}{2}\int_{\Sigma}|H|dA\geqslant\sqrt{\frac{\pi}{2}A(\Sigma)}.$$

 \implies Nouveau problème à considérer : $\inf_{A(\Sigma)=A_0} \frac{1}{2} \int_{\Sigma} |H| dA$.

Théorème (D., Henrot, Masnou, Takahashi)

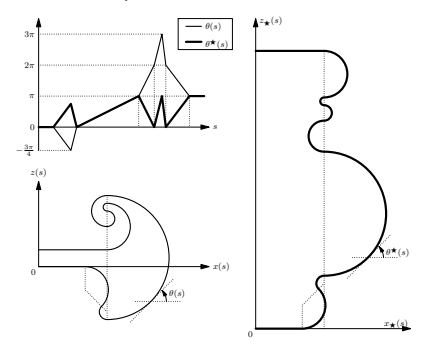
Pour toute $C^{1,1}$ -surface axisymétrique $\Sigma \subset \mathbb{R}^3$, on a :

$$\frac{1}{2}\int_{\Sigma}|H|dA\geqslant\sqrt{4\pi A\left(\Sigma\right)},$$

avec égalité ssi Σ est une sphère.

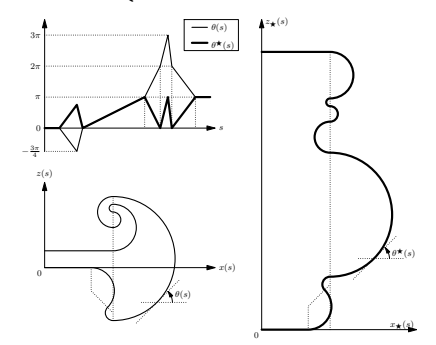
Minimiser dans la classe des surfaces axisymétriques

$$\underline{\textit{Preuve}:} \ \forall s \in [0, L], \ \theta^{\bigstar}(s) = \left\{ \begin{array}{ll} \theta(s) - 2k\pi & \text{if} \quad \theta(s) \in [2k\pi, (2k+1)\pi[, \\ 2k\pi - \theta(s) & \text{if} \quad \theta(s) \in [(2k-1)\pi, 2k\pi[. \\ \end{array} \right.$$



Minimiser dans la classe des surfaces axisymétriques

Preuve:
$$\forall s \in [0, L], \ \theta^*(s) = \begin{cases} \theta(s) - 2k\pi & \text{if} \quad \theta(s) \in [2k\pi, (2k+1)\pi[, 2k\pi - \theta(s) & \text{if} \quad \theta(s) \in [(2k-1)\pi, 2k\pi[.] \end{cases}$$



On vérifie que Σ^* génère une surface axiconvexe puis on a :

$$\frac{1}{2}\int_{\Sigma}|H|dA\geqslant\frac{1}{2}\int_{\Sigma^{\bigstar}}HdA\geqslant\sqrt{4\pi A\left(\Sigma^{\bigstar}\right)}=\sqrt{4\pi A\left(\Sigma\right)}.$$



Contraintes d'aire et de volume : existence pour Helfrich La classe des ouverts vérifiant la condition d'epsilon-boule Deux caractérisations possibles pour la condition d'epsilon-boule Compacité pour la condition d'epsilon-boule Continuité de fonctionnelles géométriques d'ordre deux

Contraintes d'aire et de volume : existence pour Helfrich

Rappel des motivations : minimiser Helfrich à aire et volume fixés. Le choix de A_0 et V_0 ne peut être arbitraire (inégalité isopér. $A_0^3 > 36\pi V_0^2$).

$$\inf_{\substack{A(\partial\Omega)=A_0\\V(\Omega)=V_0}}\frac{1}{4}\int_{\partial\Omega}\left(H-H_0\right)^2dA.$$

Contraintes d'aire et de volume : existence pour Helfrich

Rappel des motivations : minimiser Helfrich à aire et volume fixés. Le choix de A_0 et V_0 ne peut être arbitraire (inégalité isopér. $A_0^3 > 36\pi V_0^2$).

$$\inf_{\begin{subarray}{c} A(\partial\Omega)=A_0\\ V(\Omega)=V_0\end{subarray}} \frac{1}{4} \int_{\partial\Omega} \left(H-H_0\right)^2 dA.$$

Problème ouvert : démontrer l'existence d'un minimiseur régulier.

- SUITE MINIMISANTE : $\mathcal{E}(\Omega_i) \longrightarrow \inf_{\Omega \in \mathcal{A} \cap \mathcal{C}} \mathcal{E}(\Omega)$.
- Compacité : a-t-on $(\Omega_{\psi(i)}) \longrightarrow \Omega^*$? (topologie riche en compacts)
- CONTINUITÉ : a-t-on $\mathcal{E}(\Omega_{\psi(i)}) \longrightarrow \mathcal{E}(\Omega^*)$? (topologie riche en ouverts)
- Régularité : a-t-on $\Omega^* \in \mathcal{A} \cap \mathcal{C}$? (difficile car Ω^* peu régulier a priori)

Contraintes d'aire et de volume : existence pour Helfrich La classe des ouverts vérifiant la condition d'epsilon-boule Deux caractérisations possibles pour la condition d'epsilon-boule Compacité pour la condition d'epsilon-boule Continuité de fonctionnelles géométriques d'ordre deux

Contraintes d'aire et de volume : existence pour Helfrich

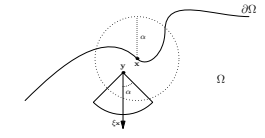
Rappel des motivations : minimiser Helfrich à aire et volume fixés. Le choix de A_0 et V_0 ne peut être arbitraire (inégalité isopér. $A_0^3 > 36\pi V_0^2$).

$$\inf_{\substack{A(\partial\Omega)=A_0\\V(\Omega)=V_0}}\frac{1}{4}\int_{\partial\Omega}\left(H-H_0\right)^2dA.$$

Problème ouvert : démontrer l'existence d'un minimiseur régulier.

- SUITE MINIMISANTE : $\mathcal{E}(\Omega_i) \longrightarrow \inf_{\Omega \in \mathcal{A} \cap \mathcal{C}} \mathcal{E}(\Omega)$.
- Compacité : a-t-on $(\Omega_{\psi(i)}) \longrightarrow \Omega^*$? (topologie riche en compacts)
- CONTINUITÉ : a-t-on $\mathcal{E}(\Omega_{\psi(i)}) \longrightarrow \mathcal{E}(\Omega^*)$? (topologie riche en ouverts)
- RÉGULARITÉ : a-t-on $\Omega^* \in \mathcal{A} \cap \mathcal{C}$? (difficile car Ω^* peu régulier a priori)

Stratégie : introduire une classe plus raisonnable assurant l'existence. *Exemple : régularité uniforme C*^{0,1} *et condition du* α *-cône (Chenais, 1975).*



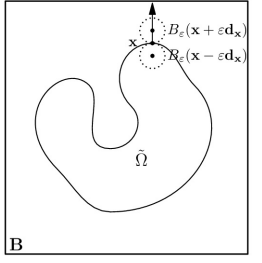
Contraintes d'aire et de volume : existence pour Helfrich La classe des ouverts vérifiant la condition d'epsilon-boule Deux caractérisations possibles pour la condition d'epsilon-boule Compacité pour la condition d'epsilon-boule Continuité de fonctionnelles géométriques d'ordre deux

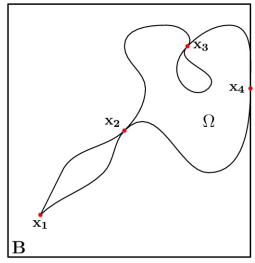
La classe $\mathcal{O}_{arepsilon}(B)$ des ouverts vérifiant la condition d'arepsilon-boule

Définition

Soient $\varepsilon>0$ et $B\subseteq\mathbb{R}^3$. Un ouvert $\Omega\subset B$ vérifie la condition d' ε -boule si :

$$\forall \mathbf{x} \in \partial \Omega, \ \exists \mathbf{d_x} \in \mathbb{S}^2, \quad \left\{ \begin{array}{l} B_{\varepsilon} \left(\mathbf{x} - \varepsilon \mathbf{d_x} \right) \subseteq \Omega \\ B_{\varepsilon} \left(\mathbf{x} + \varepsilon \mathbf{d_x} \right) \subseteq B \backslash \overline{\Omega}. \end{array} \right.$$





Remarque sur ε : la classe $\mathcal{O}_{\varepsilon}(\mathbb{R}^3)$ modéliserait le squelette du globule rouge.

Contraintes d'aire et de volume : existence pour Helfrich La classe des ouverts vérifiant la condition d'epsilon-boule Deux caractérisations possibles pour la condition d'epsilon-boule Compacité pour la condition d'epsilon-boule Continuité de fonctionnelles géométriques d'ordre deux

Deux caractérisations possibles pour la condition d'arepsilon-boule

 Ω vérifie la condition d' ε -boule pour un certain réel $\varepsilon>0$; $\updownarrow \\ \partial \Omega \text{ est de reach positif } R(\varepsilon)>0 \text{ au sens de Federer (1959);} \\ \updownarrow \\ \partial \Omega \text{ est une surface de } \mathbb{R}^3 \text{ de classe } C^{1,1} \text{ (uniformément).}$

Deux caractérisations possibles pour la condition d' ε -boule

Proposition

Soit $\Omega \notin \{\emptyset, \mathbb{R}^3\}$ un ouvert tel que $\partial \Omega$ n'est pas un plan affine. On a :

Reach
$$(\partial\Omega) = \max\{\varepsilon, \ \Omega \in \mathcal{O}_{\varepsilon}(\mathbb{R}^3)\}$$
.

Deux caractérisations possibles pour la condition d' ε -boule

 Ω vérifie la condition d' ε -boule pour un certain réel $\varepsilon>0$; \updownarrow

 $\partial\Omega$ est de reach positif $R(\varepsilon)>0$ au sens de Federer (1959);

 $\partial\Omega$ est une surface de \mathbb{R}^3 de classe $C^{1,1}$ (uniformément).

Proposition

Soit $\Omega
otin \{\emptyset, \mathbb{R}^3\}$ un ouvert tel que $\partial \Omega$ n'est pas un plan affine. On a :

$$\operatorname{Reach}(\partial\Omega) = \max\left\{\varepsilon, \ \Omega \in \mathcal{O}_{\varepsilon}\left(\mathbb{R}^{3}\right)\right\}.$$

- $\partial\Omega$ satisfait la propriété du $\alpha(\varepsilon)$ -cône selon Chenais (1975).
- $\mathbf{d_x}$ est la normale unitaire extérieure à $\partial\Omega$ en chaque point \mathbf{x} .
- L'application de Gauss $\mathbf{d}: \mathbf{x} \in \partial \Omega \mapsto \mathbf{d}_{\mathbf{x}}$ est $\frac{1}{\varepsilon}$ -lipschitzienne.

Introduction

Sur la minimisation de l'énergie de Canham-Helfrich

Sur la minimisation de la courbure moyenne totale

Condition de boule uniforme et existence de formes optimales

Conclusion

Contraintes d'aire et de volume : existence pour Helfrich La classe des ouverts vérifiant la condition d'epsilon-boule Deux caractérisations possibles pour la condition d'epsilon-boule Compacité pour la condition d'espilon-boule Continuité de fonctionnelles géométriques d'ordre deux

Compacité pour la condition d'epsilon-boule

Compacité pour la condition d'epsilon-boule

Théorème (Chenais, 1975)

Soient $\alpha \in]0, \frac{\pi}{2}[$ et $B \subset \mathbb{R}^3$ un ouvert borné lipschitzien assez large. Si $(\Omega_i) \subset \mathfrak{D}_{\alpha}(B)$, alors il existe $\Omega \in \mathfrak{D}_{\alpha}(B)$ tel que :

- $\Omega_{\psi(i)} \longrightarrow \Omega$ (Hausdorff, compacts, fonctions caractéristiques)
- $\partial\Omega_{\psi(i)}\longrightarrow\partial\Omega$ (Hausdorff) et $\overline{\Omega_{\psi(i)}}\longrightarrow\overline{\Omega}$ (Hausdorff).

Compacité pour la condition d'epsilon-boule

Théorème (Chenais, 1975)

Soient $\alpha \in]0, \frac{\pi}{2}[$ et $B \subset \mathbb{R}^3$ un ouvert borné lipschitzien assez large. Si $(\Omega_i) \subset \mathfrak{D}_{\alpha}(B)$, alors il existe $\Omega \in \mathfrak{D}_{\alpha}(B)$ tel que :

- $\Omega_{\psi(i)} \longrightarrow \Omega$ (Hausdorff, compacts, fonctions caractéristiques)
- $\partial\Omega_{\psi(i)}\longrightarrow\partial\Omega$ (Hausdorff) et $\overline{\Omega_{\psi(i)}}\longrightarrow\overline{\Omega}$ (Hausdorff).

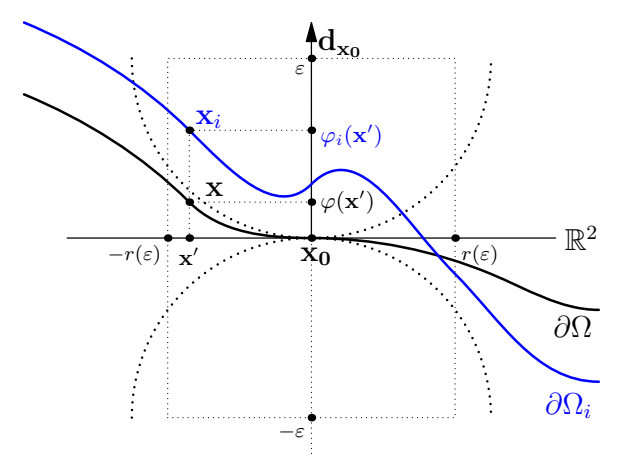
Corollaire

Soient $\varepsilon > 0$ et $B \subset \mathbb{R}^3$ comme ci-dessus. Alors $\mathcal{O}_{\varepsilon}(B)$ est aussi compact.

<u>Preuve</u>: on a $\mathcal{O}_{\varepsilon}(B) \subset \mathfrak{O}_{\alpha(\varepsilon)}(B)$ (ε -boule $\Rightarrow \alpha(\varepsilon)$ -cone) + vérifier que $\mathcal{O}_{\varepsilon}(B)$ est fermée pour la convergence au sens de Hausdorff.

Continuité de fonctionnelles géométriques d'ordre deux

<u>Idée</u>: paramétrer localement dans un repère **commun fixe** tous les graphes associés aux bords $\partial\Omega_i$ d'une suite convergeant dans $\mathcal{O}_{\varepsilon}(B)$.



Continuité de fonctionnelles géométriques d'ordre deux

Théorème

Soit $(\Omega_i) \subset \mathcal{O}_{\varepsilon}(B)$ convergeant vers $\Omega \in \mathcal{O}_{\varepsilon}(B)$. Pour tout $\mathbf{x}_0 \in \partial \Omega$, il existe un ROND centré en \mathbf{x}_0 et $I(\mathbf{x}_0, \varepsilon) \in \mathbb{N}$ tel que dans ce repère pour tout $i \geqslant I$, il existe $\varphi_i : \overline{D_{r(\varepsilon)}}(0) \to] - \varepsilon, \varepsilon[$ de classe $C^{1,1}$, dont le gradient $\nabla \varphi_i$ et φ_i sont $L(\varepsilon)$ -lipschitziens, et telle que :

$$\begin{cases} \partial\Omega_{i}\cap\left(\overline{D_{r(\varepsilon)}}\left(\mathbf{0}\right)\times\left[-\varepsilon,\varepsilon\right]\right)=\left\{\left(\mathbf{x}',\varphi_{i}\left(\mathbf{x}'\right)\right)\mid\mathbf{x}'\in\overline{D_{r(\varepsilon)}}\left(\mathbf{0}\right)\right\}\\ \Omega_{i}\cap\left(\overline{D_{r(\varepsilon)}}\left(\mathbf{0}\right)\times\left[-\varepsilon,\varepsilon\right]\right)=\left\{\left(\mathbf{x}',x_{n}\right)\mid\mathbf{x}'\in\overline{D_{r(\varepsilon)}}\left(\mathbf{0}\right),-\varepsilon\leqslant x_{n}<\varphi_{i}\left(\mathbf{x}'\right)\right\}.\end{cases}$$

De plus, en considérant la fonction φ associée au point \mathbf{x}_0 de la $C^{1,1}$ -surface $\partial\Omega$, on a :

$$\varphi_i \to \varphi \text{ dans } C^1(\overline{D_{r(\varepsilon)}}(\mathbf{0})) \text{ et } \varphi_i \to \varphi \text{ faible} * \text{ dans } W^{2,\infty}(D_{r(\varepsilon)}(\mathbf{0})).$$

Continuité de fonctionnelles géométriques d'ordre deux

Proposition

Soient $(\Omega_i) \subset \mathcal{O}_{\varepsilon}(B)$ convergeant vers $\Omega \in \mathcal{O}_{\varepsilon}(B)$ et $j_0, j_1 : B \times \mathbb{S}^2 \to \mathbb{R}$ continue en chacune de leurs variables. Alors, on a :

$$\begin{cases}
\int_{\partial\Omega_{i}} j_{0}\left[\mathbf{x},\mathbf{n}\left(\mathbf{x}\right)\right] dA\left(\mathbf{x}\right) \xrightarrow[i\to+\infty]{} \int_{\partial\Omega} j_{0}\left[\mathbf{x},\mathbf{n}\left(\mathbf{x}\right)\right] dA\left(\mathbf{x}\right) \\
\int_{\partial\Omega_{i}} H\left(\mathbf{x}\right) j_{1}\left[\mathbf{x},\mathbf{n}\left(\mathbf{x}\right)\right] dA\left(\mathbf{x}\right) \xrightarrow[i\to+\infty]{} \int_{\partial\Omega} H\left(\mathbf{x}\right) j_{1}\left[\mathbf{x},\mathbf{n}\left(\mathbf{x}\right)\right] dA\left(\mathbf{x}\right).
\end{cases}$$

Continuité de fonctionnelles géométriques d'ordre deux

Proposition

Soient $(\Omega_i) \subset \mathcal{O}_{\varepsilon}(B)$ convergeant vers $\Omega \in \mathcal{O}_{\varepsilon}(B)$ et $j_0, j_1 : B \times \mathbb{S}^2 \to \mathbb{R}$ continue en chacune de leurs variables. Alors, on a :

$$\begin{cases}
\int_{\partial\Omega_{i}} j_{0}\left[\mathbf{x},\mathbf{n}\left(\mathbf{x}\right)\right] dA\left(\mathbf{x}\right) \xrightarrow[i\to+\infty]{} \int_{\partial\Omega} j_{0}\left[\mathbf{x},\mathbf{n}\left(\mathbf{x}\right)\right] dA\left(\mathbf{x}\right) \\
\int_{\partial\Omega_{i}} H\left(\mathbf{x}\right) j_{1}\left[\mathbf{x},\mathbf{n}\left(\mathbf{x}\right)\right] dA\left(\mathbf{x}\right) \xrightarrow[i\to+\infty]{} \int_{\partial\Omega} H\left(\mathbf{x}\right) j_{1}\left[\mathbf{x},\mathbf{n}\left(\mathbf{x}\right)\right] dA\left(\mathbf{x}\right).
\end{cases}$$

<u>Preuve</u>: passage du local au global grâce à une partition de l'unité adaptée au recouvrement de $\overline{\mathcal{V}_{\delta(\varepsilon)}}(\partial\Omega)\subset\bigcup_{k=1}^{\mathcal{K}}\mathcal{C}_{\varepsilon}(\mathbf{x}_k)$.

Continuité de fonctionnelles géométriques d'ordre deux

Proposition

Soient $(\Omega_i) \subset \mathcal{O}_{\varepsilon}(B)$ convergeant vers $\Omega \in \mathcal{O}_{\varepsilon}(B)$ et $j_0, j_1 : B \times \mathbb{S}^2 \to \mathbb{R}$ continue en chacune de leurs variables. Alors, on a :

$$\begin{cases}
\int_{\partial\Omega_{i}} j_{0}\left[\mathbf{x},\mathbf{n}\left(\mathbf{x}\right)\right] dA\left(\mathbf{x}\right) \xrightarrow[i\to+\infty]{} \int_{\partial\Omega} j_{0}\left[\mathbf{x},\mathbf{n}\left(\mathbf{x}\right)\right] dA\left(\mathbf{x}\right) \\
\int_{\partial\Omega_{i}} H\left(\mathbf{x}\right) j_{1}\left[\mathbf{x},\mathbf{n}\left(\mathbf{x}\right)\right] dA\left(\mathbf{x}\right) \xrightarrow[i\to+\infty]{} \int_{\partial\Omega} H\left(\mathbf{x}\right) j_{1}\left[\mathbf{x},\mathbf{n}\left(\mathbf{x}\right)\right] dA\left(\mathbf{x}\right).
\end{cases}$$

<u>Preuve</u>: passage du local au global grâce à une partition de l'unité adaptée au recouvrement de $\overline{\mathcal{V}_{\delta(\varepsilon)}}(\partial\Omega) \subset \bigcup_{k=1}^K C_{\varepsilon}(\mathbf{x}_k)$.

- Théorème aux $(\mathbf{x}_k) \subset \partial \Omega$: il existe $(\varphi_i^k)_{i \geqslant l_k} \to \varphi^k$ dans C^1 et dans $W^{2,\infty}$.
- \implies $\mathbf{n}_{\partial\Omega_i} \to \mathbf{n}_{\partial\Omega}$ (cv uniforme) + $H_{\partial\Omega_i} \rightharpoonup H_{\partial\Omega}$ (L^{∞} faible *).

Continuité de fonctionnelles géométriques d'ordre deux

Proposition

Soient $(\Omega_i) \subset \mathcal{O}_{\varepsilon}(B)$ convergeant vers $\Omega \in \mathcal{O}_{\varepsilon}(B)$ et $j_0, j_1 : B \times \mathbb{S}^2 \to \mathbb{R}$ continue en chacune de leurs variables. Alors, on a :

$$\begin{cases}
\int_{\partial\Omega_{i}} j_{0}\left[\mathbf{x},\mathbf{n}\left(\mathbf{x}\right)\right] dA\left(\mathbf{x}\right) \xrightarrow[i\to+\infty]{} \int_{\partial\Omega} j_{0}\left[\mathbf{x},\mathbf{n}\left(\mathbf{x}\right)\right] dA\left(\mathbf{x}\right) \\
\int_{\partial\Omega_{i}} H\left(\mathbf{x}\right) j_{1}\left[\mathbf{x},\mathbf{n}\left(\mathbf{x}\right)\right] dA\left(\mathbf{x}\right) \xrightarrow[i\to+\infty]{} \int_{\partial\Omega} H\left(\mathbf{x}\right) j_{1}\left[\mathbf{x},\mathbf{n}\left(\mathbf{x}\right)\right] dA\left(\mathbf{x}\right).
\end{cases}$$

<u>Preuve</u>: passage du local au global grâce à une partition de l'unité adaptée au recouvrement de $\overline{\mathcal{V}_{\delta(\varepsilon)}}(\partial\Omega) \subset \bigcup_{k=1}^K C_{\varepsilon}(\mathbf{x}_k)$.

- Théorème aux $(\mathbf{x}_k) \subset \partial \Omega$: il existe $(\varphi_i^k)_{i \geqslant l_k} \to \varphi^k$ dans C^1 et dans $W^{2,\infty}$.
- \implies $\mathbf{n}_{\partial\Omega_i} \to \mathbf{n}_{\partial\Omega}$ (cv uniforme) + $H_{\partial\Omega_i} \rightharpoonup H_{\partial\Omega}$ (L^{∞} faible *).
 - Prendre $i \geqslant I(\varepsilon) = \max_{1 \leqslant k \leqslant K} I_k$ puis écrire la fonctionnelle.
 - Passer correctement à la limite $i \to +\infty$ (produit cv L^{∞} faible $*/L^{1}$ forte).

Continuité de fonctionnelles géométriques d'ordre deux

Proposition

Soient $(\Omega_i) \subset \mathcal{O}_{\varepsilon}(B)$ convergeant vers $\Omega \in \mathcal{O}_{\varepsilon}(B)$ et $j_2 : B \times \mathbb{S}^2 \to \mathbb{R}$ continue en chacune de ses variables. Alors, on a :

$$\int_{\partial\Omega_{i}}K\left(\mathbf{x}\right)j_{2}\left[\mathbf{x},\mathbf{n}\left(\mathbf{x}\right)\right]dA\left(\mathbf{x}\right)\underset{i\rightarrow+\infty}{\longrightarrow}\int_{\partial\Omega}K\left(\mathbf{x}\right)j_{2}\left[\mathbf{x},\mathbf{n}\left(\mathbf{x}\right)\right]dA\left(\mathbf{x}\right)$$

Continuité de fonctionnelles géométriques d'ordre deux

Proposition

Soient $(\Omega_i) \subset \mathcal{O}_{\varepsilon}(B)$ convergeant vers $\Omega \in \mathcal{O}_{\varepsilon}(B)$ et $j_2 : B \times \mathbb{S}^2 \to \mathbb{R}$ continue en chacune de ses variables. Alors, on a :

$$\int_{\partial\Omega_{i}}K\left(\mathbf{x}\right)j_{2}\left[\mathbf{x},\mathbf{n}\left(\mathbf{x}\right)\right]dA\left(\mathbf{x}\right)\underset{i\rightarrow+\infty}{\longrightarrow}\int_{\partial\Omega}K\left(\mathbf{x}\right)j_{2}\left[\mathbf{x},\mathbf{n}\left(\mathbf{x}\right)\right]dA\left(\mathbf{x}\right)$$

<u>Preuve</u>: il suffit de montrer que $K_{\partial\Omega_i} \rightharpoonup K_{\partial\Omega}$ dans L^{∞} faible *.

- On a seulement la cv des coeff. de Dn : OK pour H = Trace (Dn)
- PAS CLAIR pour $K = \det(D\mathbf{n})$ (non-linéaire et $cv \notin W^{1,p}$).

Continuité de fonctionnelles géométriques d'ordre deux

Proposition

Soient $(\Omega_i) \subset \mathcal{O}_{\varepsilon}(B)$ convergeant vers $\Omega \in \mathcal{O}_{\varepsilon}(B)$ et $j_2 : B \times \mathbb{S}^2 \to \mathbb{R}$ continue en chacune de ses variables. Alors, on a :

$$\int_{\partial\Omega_{i}}K(\mathbf{x})j_{2}\left[\mathbf{x},\mathbf{n}(\mathbf{x})\right]dA(\mathbf{x})\underset{i\rightarrow+\infty}{\longrightarrow}\int_{\partial\Omega}K(\mathbf{x})j_{2}\left[\mathbf{x},\mathbf{n}(\mathbf{x})\right]dA(\mathbf{x})$$

<u>Preuve</u>: il suffit de montrer que $K_{\partial\Omega_i} \rightharpoonup K_{\partial\Omega}$ dans L^{∞} faible *.

- On a seulement la cv des coeff. de Dn : OK pour H = Trace(Dn)
- PAS CLAIR pour $K = \det(D\mathbf{n})$ (non-linéaire et $cv \notin W^{1,p}$).

Question: $u_i \rightharpoonup u$ dans $L^{\infty}(U, \mathbb{R}^M)$ et $F(u_i) \rightharpoonup \overline{F}$. A-t-on $\overline{F} = F(u)$?

- \implies Compacité par compensation (div-curl lemma) version L^{∞} (Tartar)
 - On dispose d'opérateurs différentiels $(A^k u_i) \subset \subset H^{-1}$.
 - $\overline{F} = F(u)$ si F quadratique et F = 0 sur un cône d'oscillation $\Lambda(A^k)$.

Continuité de fonctionnelles géométriques d'ordre deux

Preuve (fin) : utiliser les équations de (Gauss-)Codazzi-Mainardi

$$\left\{ \begin{array}{l} \partial_1 b_{12} - \partial_2 b_{11} = \left(\Gamma^1_{11} b_{12} - \Gamma^1_{12} b_{11} \right) + \left(\Gamma^2_{11} b_{22} - \Gamma^2_{12} b_{21} \right) \\ \\ \partial_1 b_{22} - \partial_2 b_{21} = \left(\Gamma^1_{21} b_{12} - \Gamma^1_{22} b_{11} \right) + \left(\Gamma^2_{21} b_{22} - \Gamma^2_{22} b_{21} \right). \end{array} \right.$$

Continuité de fonctionnelles géométriques d'ordre deux

Preuve (fin) : utiliser les équations de (Gauss-)Codazzi-Mainardi

$$\left\{ \begin{array}{l} \partial_1 b_{12} - \partial_2 b_{11} = \left(\Gamma^1_{11} b_{12} - \Gamma^1_{12} b_{11} \right) + \left(\Gamma^2_{11} b_{22} - \Gamma^2_{12} b_{21} \right) \\ \\ \partial_1 b_{22} - \partial_2 b_{21} = \left(\Gamma^1_{21} b_{12} - \Gamma^1_{22} b_{11} \right) + \left(\Gamma^2_{21} b_{22} - \Gamma^2_{22} b_{21} \right). \end{array} \right.$$

Le cône d'oscillation associé :

$$\Lambda = \left\{ M \in \mathcal{M}_{2,2} \left(\mathbb{R} \right), \ \det M = 0 \right\}.$$

Continuité de fonctionnelles géométriques d'ordre deux

Preuve (fin) : utiliser les équations de (Gauss-)Codazzi-Mainardi

$$\left\{ \begin{array}{l} \partial_1 b_{12} - \partial_2 b_{11} = \left(\Gamma^1_{11} b_{12} - \Gamma^1_{12} b_{11} \right) + \left(\Gamma^2_{11} b_{22} - \Gamma^2_{12} b_{21} \right) \\ \\ \partial_1 b_{22} - \partial_2 b_{21} = \left(\Gamma^1_{21} b_{12} - \Gamma^1_{22} b_{11} \right) + \left(\Gamma^2_{21} b_{22} - \Gamma^2_{22} b_{21} \right). \end{array} \right.$$

Le cône d'oscillation associé :

$$\Lambda = \left\{ M \in \mathcal{M}_{2,2} \left(\mathbb{R} \right), \ \det M = 0 \right\}.$$

Corollaire

Soient $(\Omega_i) \subset \mathcal{O}_{\varepsilon}(B) \longrightarrow \Omega \in \mathcal{O}_{\varepsilon}(B)$ et $j_3, j_4 : B \times \mathbb{S}^2 \times \mathbb{R} \to \mathbb{R}$ continue en chacune de leurs variables et **convexe** en leur dernière. Alors, on a :

$$\begin{cases} & \liminf_{i \to +\infty} \int_{\partial \Omega_{i}} j_{3}\left[\mathbf{x}, \mathbf{n}\left(\mathbf{x}\right), H\left(\mathbf{x}\right)\right] dA\left(\mathbf{x}\right) \leqslant \int_{\partial \Omega} j_{3}\left[\mathbf{x}, \mathbf{n}\left(\mathbf{x}\right), H\left(\mathbf{x}\right)\right] dA\left(\mathbf{x}\right) \\ & \liminf_{i \to +\infty} \int_{\partial \Omega_{i}} j_{4}\left[\mathbf{x}, \mathbf{n}\left(\mathbf{x}\right), K\left(\mathbf{x}\right)\right] dA\left(\mathbf{x}\right) \leqslant \int_{\partial \Omega} j_{4}\left[\mathbf{x}, \mathbf{n}\left(\mathbf{x}\right), K\left(\mathbf{x}\right)\right] dA\left(\mathbf{x}\right). \end{cases}$$

Continuité de fonctionnelles géométriques d'ordre deux

Théorème

Soient $\varepsilon > 0$ et $B \subseteq \mathbb{R}^3$ une boule assez large. Les applications sont continues en leurs variables, convexes en leur dernière. Alors il existe un minimiseur à :

$$\inf \int_{\partial\Omega} j_{0}\left[\mathbf{x},\mathbf{n}\left(\mathbf{x}\right)\right] dA\left(\mathbf{x}\right) + \int_{\partial\Omega} j_{1}\left[\mathbf{x},\mathbf{n}\left(\mathbf{x}\right),H\left(\mathbf{x}\right)\right] dA\left(\mathbf{x}\right) + \int_{\partial\Omega} j_{2}\left[\mathbf{x},\mathbf{n}\left(\mathbf{x}\right),K\left(\mathbf{x}\right)\right] dA\left(\mathbf{x}\right),$$

où l'infimum est pris parmi tous les $\Omega\in\mathcal{O}_{\epsilon}(B)$ satisfaisant les contraintes :

$$\begin{cases} \int_{\partial\Omega} f_{0}\left[\mathbf{x},\mathbf{n}\left(\mathbf{x}\right)\right] dA\left(\mathbf{x}\right) + \int_{\partial\Omega} f_{1}\left[\mathbf{x},\mathbf{n}\left(\mathbf{x}\right),H\left(\mathbf{x}\right)\right] dA\left(\mathbf{x}\right) + \int_{\partial\Omega} f_{2}\left[\mathbf{x},\mathbf{n}\left(\mathbf{x}\right),K\left(\mathbf{x}\right)\right] dA\left(\mathbf{x}\right) \leqslant C \\ \int_{\partial\Omega} g_{0}\left[\mathbf{x},\mathbf{n}\left(\mathbf{x}\right)\right] dA\left(\mathbf{x}\right) + \int_{\partial\Omega} H\left(\mathbf{x}\right)g_{1}\left[\mathbf{x},\mathbf{n}\left(\mathbf{x}\right)\right] dA\left(\mathbf{x}\right) + \int_{\partial\Omega} K\left(\mathbf{x}\right)g_{2}\left[\mathbf{x},\mathbf{n}\left(\mathbf{x}\right)\right] dA\left(\mathbf{x}\right) = \widetilde{C}. \end{cases}$$

Continuité de fonctionnelles géométriques d'ordre deux

Théorème

Soient $\varepsilon > 0$ et $B \subseteq \mathbb{R}^3$ une boule assez large. Les applications sont continues en leurs variables, convexes en leur dernière. Alors il existe un minimiseur à :

$$\inf \int_{\partial\Omega} j_{0}\left[\mathbf{x},\mathbf{n}\left(\mathbf{x}\right)\right] dA\left(\mathbf{x}\right) + \int_{\partial\Omega} j_{1}\left[\mathbf{x},\mathbf{n}\left(\mathbf{x}\right),H\left(\mathbf{x}\right)\right] dA\left(\mathbf{x}\right) + \int_{\partial\Omega} j_{2}\left[\mathbf{x},\mathbf{n}\left(\mathbf{x}\right),K\left(\mathbf{x}\right)\right] dA\left(\mathbf{x}\right),$$

où l'infimum est pris parmi tous les $\Omega\in\mathcal{O}_{\epsilon}(B)$ satisfaisant les contraintes :

$$\left\{ \begin{array}{l} \displaystyle \int_{\partial\Omega}f_{0}\left[x,n\left(x\right)\right]dA\left(x\right) + \int_{\partial\Omega}f_{1}\left[x,n\left(x\right),H\left(x\right)\right]dA\left(x\right) + \int_{\partial\Omega}f_{2}\left[x,n\left(x\right),K\left(x\right)\right]dA\left(x\right) \leqslant C \\ \displaystyle \int_{\partial\Omega}g_{0}\left[x,n\left(x\right)\right]dA\left(x\right) + \int_{\partial\Omega}H\left(x\right)g_{1}\left[x,n\left(x\right)\right]dA\left(x\right) + \int_{\partial\Omega}K\left(x\right)g_{2}\left[x,n\left(x\right)\right]dA\left(x\right) = \widetilde{C}. \end{array} \right. \right. \right.$$

Exemples : Helfrich, aire, volume, genre $(\int KdA)$, $\int HdA$, $\int |H|^p dA$, $p \geqslant 1$...

Continuité de fonctionnelles géométriques d'ordre deux

Théorème

Soient $\varepsilon > 0$ et $B \subseteq \mathbb{R}^3$ une boule assez large. Les applications sont continues en leurs variables, convexes en leur dernière. Alors il existe un minimiseur à :

$$\inf \int_{\partial\Omega} j_{0}\left[\mathbf{x},\mathbf{n}\left(\mathbf{x}\right)\right] dA\left(\mathbf{x}\right) + \int_{\partial\Omega} j_{1}\left[\mathbf{x},\mathbf{n}\left(\mathbf{x}\right),H\left(\mathbf{x}\right)\right] dA\left(\mathbf{x}\right) + \int_{\partial\Omega} j_{2}\left[\mathbf{x},\mathbf{n}\left(\mathbf{x}\right),K\left(\mathbf{x}\right)\right] dA\left(\mathbf{x}\right),$$

où l'infimum est pris parmi tous les $\Omega \in \mathcal{O}_{\varepsilon}(B)$ satisfaisant les contraintes :

$$\begin{cases} \int_{\partial\Omega} f_{0}\left[\mathbf{x},\mathbf{n}\left(\mathbf{x}\right)\right] dA\left(\mathbf{x}\right) + \int_{\partial\Omega} f_{1}\left[\mathbf{x},\mathbf{n}\left(\mathbf{x}\right),H\left(\mathbf{x}\right)\right] dA\left(\mathbf{x}\right) + \int_{\partial\Omega} f_{2}\left[\mathbf{x},\mathbf{n}\left(\mathbf{x}\right),K\left(\mathbf{x}\right)\right] dA\left(\mathbf{x}\right) \leqslant C \\ \int_{\partial\Omega} g_{0}\left[\mathbf{x},\mathbf{n}\left(\mathbf{x}\right)\right] dA\left(\mathbf{x}\right) + \int_{\partial\Omega} H\left(\mathbf{x}\right)g_{1}\left[\mathbf{x},\mathbf{n}\left(\mathbf{x}\right)\right] dA\left(\mathbf{x}\right) + \int_{\partial\Omega} K\left(\mathbf{x}\right)g_{2}\left[\mathbf{x},\mathbf{n}\left(\mathbf{x}\right)\right] dA\left(\mathbf{x}\right) = \widetilde{C}. \end{cases}$$

Exemples : Helfrich, aire, volume, genre ($\int KdA$), $\int HdA$, $\int |H|^p dA$, $p \ge 1$...

Généralisation aux cas des hypersurfaces : $\operatorname{cv} L^{\infty}$ faible * des *curvature measures* de Federer (au lieu de la cv au sens des mesures).

Continuité de fonctionnelles géométriques d'ordre deux

Théorème (cas Dirichlet)

Soient $\varepsilon > 0$, B une boule et $f \in L^2(B)$. Pour tout $\Omega \in \mathcal{O}_{\varepsilon}(B)$, il existe un unique $u_{\Omega} \in H^2(\Omega) \cap H^1_0(\Omega)$ tel que $-\Delta u_{\Omega} = f$ sur Ω . Soit $j : \mathbb{R}^3 \times B \times \mathbb{S}^2 \times \mathbb{R}$ continue, quadratique en sa première variable, convexe en sa dernière. Alors :

$$\min_{\substack{\Omega \in \mathcal{O}_{\varepsilon}(B) \\ + \text{ contraintes}}} \int_{\partial \Omega} j \left[\nabla u_{\Omega} \left(\mathbf{x} \right), \mathbf{x}, \mathbf{n} \left(\mathbf{x} \right), H \left(\mathbf{x} \right) \right] dA \left(\mathbf{x} \right).$$

Continuité de fonctionnelles géométriques d'ordre deux

Théorème (cas Dirichlet)

Soient $\varepsilon > 0$, B une boule et $f \in L^2(B)$. Pour tout $\Omega \in \mathcal{O}_{\varepsilon}(B)$, il existe un unique $u_{\Omega} \in H^2(\Omega) \cap H^1_0(\Omega)$ tel que $-\Delta u_{\Omega} = f$ sur Ω . Soit $j : \mathbb{R}^3 \times B \times \mathbb{S}^2 \times \mathbb{R}$ continue, quadratique en sa première variable, convexe en sa dernière. Alors :

$$\min_{\substack{\Omega \in \mathcal{O}_{\varepsilon}(B) \\ + \text{ contraintes}}} \int_{\partial \Omega} j \left[\nabla u_{\Omega}(\mathbf{x}), \mathbf{x}, \mathbf{n}(\mathbf{x}), H(\mathbf{x}) \right] dA(\mathbf{x}).$$

$$\begin{array}{l} \underline{\textit{Preuve}:} \text{ a-t-on } \mathbf{x}' \to \textit{u}_{\Omega_i}\left(\mathbf{x}', \varphi_i\left(\mathbf{x}'\right)\right) \text{ qui converge vers } \mathbf{x}' \to \textit{u}_{\Omega}\left(\mathbf{x}', \varphi\left(\mathbf{x}'\right)\right)? \\ \Longrightarrow \text{ OUI car } \|\textit{u}_{\Omega_i}\|_{H^2(\Omega_i)} \leqslant \textit{C}\left(\varepsilon, \operatorname{diam}\textit{B}\right) \|f\|_{L^2(B)}. \end{array}$$

Continuité de fonctionnelles géométriques d'ordre deux

Théorème (cas Dirichlet)

Soient $\varepsilon > 0$, B une boule et $f \in L^2(B)$. Pour tout $\Omega \in \mathcal{O}_{\varepsilon}(B)$, il existe un unique $u_{\Omega} \in H^2(\Omega) \cap H^1_0(\Omega)$ tel que $-\Delta u_{\Omega} = f$ sur Ω . Soit $j : \mathbb{R}^3 \times B \times \mathbb{S}^2 \times \mathbb{R}$ continue, quadratique en sa première variable, convexe en sa dernière. Alors :

$$\min_{\substack{\Omega \in \mathcal{O}_{\varepsilon}(\mathcal{B}) \\ + \text{ contraintes}}} \int_{\partial \Omega} j \left[\nabla u_{\Omega} \left(\mathbf{x} \right), \mathbf{x}, \mathbf{n} \left(\mathbf{x} \right), H \left(\mathbf{x} \right) \right] dA \left(\mathbf{x} \right).$$

 $\underline{\textit{Preuve}:} \text{ a-t-on } \mathbf{x}' \rightarrow \textit{u}_{\Omega_i}\left(\mathbf{x}', \varphi_i\left(\mathbf{x}'\right)\right) \text{ qui converge vers } \mathbf{x}' \rightarrow \textit{u}_{\Omega}\left(\mathbf{x}', \varphi\left(\mathbf{x}'\right)\right)?$

- \implies OUI car $\|u_{\Omega_i}\|_{H^2(\Omega_i)} \leqslant C(\varepsilon, \operatorname{diam} B) \|f\|_{L^2(B)}$.
 - On peut remplacer *H* par *K*. Mêmes résultats pour Neumann/Robin.
 - OK intégrale sur Ω contenant la hessienne car $\mathbf{1}_{\Omega_i}u_{\Omega_i}\to\mathbf{1}_\Omega u_\Omega$ dans $H^2(B)$:

$$\sum_{k=1}^{3} \int_{\Omega} \left(\frac{\partial^{2} u_{\Omega}}{\partial x_{i} \partial x_{j}} \right)^{2} = \int_{\Omega} f^{2} - \int_{\partial \Omega} H \|\nabla u_{\Omega}\|^{2} dA.$$

• Application à l'identification de domaine : $\inf_{\Omega \in \mathcal{O}_{\varepsilon}(\mathcal{B}), \ \Gamma_0 \subseteq \partial \Omega} \int_{\Gamma_0} (\partial_n u_{\Omega} - g_0)^2 dA$.

Conclusion : bilan et récapitulatif des résultats obtenus

• Sans contrainte : minimiser l'énergie de (Canham-)Helfrich parmi les C^2 -surfaces connexes compactes de \mathbb{R}^3 .

	$H_0 < 0$	$H_0 = 0$	$H_0 > 0$
Existence	pas de minimiseur	les sphères	sphère rayon $\frac{2}{H_0}$
Helfrich	4π	4π	0
Canham-Helfrich	$4\pi \left(2k_b+k_G\right)$	$4\pi \left(2k_b+k_G\right)$	$4\pi k_G$

Conclusion : bilan et récapitulatif des résultats obtenus

• Sans contrainte : minimiser l'énergie de (Canham-)Helfrich parmi les C^2 -surfaces connexes compactes de \mathbb{R}^3 .

	$H_0 < 0$	$H_0 = 0$	$H_0 > 0$
Existence	pas de minimiseur	les sphères	sphère rayon $\frac{2}{H_0}$
Helfrich	4π	4π	0
Canham-Helfrich	$4\pi \left(2k_b+k_G\right)$	$4\pi \left(2k_b+k_G\right)$	$4\pi k_G$

• Avec une contrainte d'aire : étude de l'optimalité de la sphère

$$\inf_{A(\Sigma)=A_0} \frac{1}{4} \int_{\Sigma} (H - H_0)^2 dA = \inf_{A(\Sigma)=4\pi} \frac{1}{4} \int_{\Sigma} (H - 2c_0)^2 dA.$$

$c_0 = \frac{H_0}{2} \sqrt{\frac{A_0}{4\pi}}$	$-\infty$	<i>c</i> _		0		1		c_+	c ₊₊	$+\infty$
minimum global	NON	[?	[OUI]	?]	NON	
minimum local			С	UI]		?]	NON
point critique						OUI				

- Avec une contrainte d'aire : minimiser la courbure moyenne.
- \implies Sphère unique point critique C^3 et toujours minimum local C^2 .

Fonctionnelle	Convexe	Axiconvexe	Axisymétrique	$C^{1,1}$ -surface
$\frac{1}{2}\int HdA$	sphère	sphère	OUVERT	$-\infty$
$\frac{1}{2}\int H dA$			sphère	OUVERT

Conclusion : bilan et récapitulatif des résultats obtenus

- Avec une contrainte d'aire : minimiser la courbure moyenne.
- \implies Sphère unique point critique C^3 et toujours minimum local C^2 .

Fonctionnelle	Convexe	Axiconvexe	Axisymétrique	$C^{1,1}$ -surface
$\frac{1}{2}\int HdA$	sphère	sphère	OUVERT	$-\infty$
$\frac{1}{2}\int H dA$			sphère	OUVERT

• La classe des ε -boules assure l'existence pour des fonctionnelles géométriques d'ordre deux et modélise le squelette du globule rouge.

- Avec une contrainte d'aire : minimiser la courbure moyenne.
- \implies Sphère unique point critique C^3 et toujours minimum local C^2 .

Fonctionnelle	Convexe	Axiconvexe	Axisymétrique	$C^{1,1}$ -surface
$\frac{1}{2}\int HdA$	sphère	sphère	OUVERT	$-\infty$
$\frac{1}{2}\int H dA$			sphère	OUVERT

- La classe des ε -boules assure l'existence pour des fonctionnelles géométriques d'ordre deux et modélise le squelette du globule rouge.
- 1 Existence pour Canham-Helfrich à aire et volume fixés :
- $\implies A_0^3 > 36\pi V_0^2 + contrôle$ uniforme du diamètre par la fonctionnelle et l'aire.

$$\min_{\substack{\Omega \in \mathcal{O}_{\varepsilon}(\mathbb{R}^3)\\ A(\partial\Omega) = A_0,\ V(\Omega) = V_0}} \frac{k_b}{2} \int_{\partial\Omega} \left(H - H_0\right)^2 dA + k_G \int_{\partial\Omega} K dA.$$

2D	Axisymétrique	Varifold	arepsilon-boule	Surface
OK	$-2k_b < k_G < 0$	$-2k_b < k_G < 0$	$k_G < 0 < k_b \\$	OUVERT

- 2 Existence pour Helfrich à aire, volume et genre fixés :
- ⇒ Problème ouvert : existence cas général (Helfrich pas sci cv varifolds).

$$\min_{\substack{\Omega \in \mathcal{O}_{\varepsilon}(\mathbb{R}^3) \\ A(\partial \Omega) = A_0, \ V(\Omega) = V_0 \\ \text{genre}(\partial \Omega) = g}} \frac{1}{4} \int_{\partial \Omega} (H - H_0)^2 dA.$$

- ② Existence pour Helfrich à aire, volume et genre fixés :
- ⇒ Problème ouvert : existence cas général (Helfrich pas sci cv varifolds).

$$\min_{\substack{\Omega \in \mathcal{O}_{\varepsilon}(\mathbb{R}^3) \\ A(\partial\Omega) = A_0, \ V(\Omega) = V_0 \\ \text{genre}(\partial\Omega) = g}} \frac{1}{4} \int_{\partial\Omega} (H - H_0)^2 dA.$$

- EXISTENCE POUR WILLMORE AVEC DIVERSES CONTRAINTES:
- → Application : modèle du couple-bicouche (bilayer-couple model)

$$\min_{\substack{\Omega \in \mathcal{O}_{\varepsilon}(\mathbb{R}^3)\\ A(\partial\Omega) = A_0,\ V(\Omega) = V_0\\ \mathrm{genre}(\partial\Omega) = g,\ \int_{\partial\Omega} H dA = M_0}} \frac{1}{4} \int_{\partial\Omega} H^2 dA.$$

Contrainte	genre $g=0$	genre $g\geqslant 1$
aucune	Willmore (1982)	Simon (1993)+Bauer/Kuwert (2003)
ratio isopérim.	Schygulla (2012)	Keller/Mondino/Rivière (2014)

Perspectives : Helfrich avec une contrainte de volume

- Willmore : minimum de $\int H^2 dA$ uniquement atteint par la sphère.
- Inégalité isopérimétrique : si $H_0 < 0$, idem pour $\int (H H_0)^2 dA$ parmi les convexes/axiconvexes car :

$$\frac{1}{2}\int_{\Sigma}HdA\geqslant\sqrt{4\pi A\left(\Sigma\right)}\geqslant2\sqrt[3]{6\pi^{2}V\left(\Sigma\right)}.$$

Perspectives : Helfrich avec une contrainte de volume

- **Willmore**: minimum de $\int H^2 dA$ uniquement atteint par la sphère.
- Inégalité isopérimétrique : si $H_0 < 0$, idem pour $\int (H H_0)^2 dA$ parmi les convexes/axiconvexes car :

$$\frac{1}{2}\int_{\Sigma}HdA\geqslant\sqrt{4\pi A\left(\Sigma\right)}\geqslant2\sqrt[3]{6\pi^{2}V\left(\Sigma\right)}.$$

- Difficulté : défaut de compacité dû au manque de contrôle sur l'aire d'une suite minimisante.
- Problème 2D/3D ouvert : existence (plus pour longtemps en 2D!)

$$\inf_{A(\mathcal{C})=A_0}\int_{\mathcal{C}}\kappa(s)^2ds.$$

Perspectives : d'autres résultats d'existence

Problème ouvert : minimiser Canham-Helfrich à aire et volume fixés parmi des surfaces régulières (décrire les singularités).

Perspectives : d'autres résultats d'existence

Problème ouvert : minimiser Canham-Helfrich à aire et volume fixés parmi des surfaces régulières (décrire les singularités).

Cas Willmore $H_0 = 0$:

- Approche du découpage/recollement de Simon (existence genre un).
- Approche des immersions de Rivière (régularité des points critiques).
- \implies quand $H_0 \neq 0$, on perd l'invariance par transformations conformes mais pour H_0 assez petit, on a toujours $\liminf_i \int_{\Sigma_i} H^2 dA < 8\pi$.

Perspectives : d'autres résultats d'existence

Problème ouvert : minimiser Canham-Helfrich à aire et volume fixés parmi des surfaces régulières (décrire les singularités).

Cas Willmore $H_0 = 0$:

- Approche du découpage/recollement de Simon (existence genre un).
- Approche des immersions de Rivière (régularité des points critiques).
- \implies quand $H_0 \neq 0$, on perd l'invariance par transformations conformes mais pour H_0 assez petit, on a toujours $\liminf_i \int_{\Sigma_i} H^2 dA < 8\pi$.

Proposition

Soient $A_0^3>36\pi V_0^2$ et la classe $\mathcal{S}_{V_0}^{A_0}$ des C^∞ -plongements $\vec{\Phi}:\mathbb{S}^2\hookrightarrow\mathbb{R}^3$ d'aire A_0 et volume V_0 . Alors, il existe $H_0^*(A_0,V_0)>0$ dépendant continûment de A_0 et V_0 tel que pour tout $H_0\in]-H_0^*,H_0^*[$, toute suite minimisante

$$(\vec{\Phi}_i)_{i\in\mathbb{N}} \text{ de } \inf_{\Phi\in\mathcal{S}_{V_0}^{A_0}} \frac{1}{4} \int_{\vec{\Phi}} (H-H_0)^2 \, dA \text{ v\'erifie } \liminf_{i\to+\infty} \frac{1}{4} \int_{\vec{\Phi}_i} H^2 dA < 8\pi.$$

Perspectives : d'autres résultats d'existence

La classe des ε -boules permettrait d'approcher des modèles plus réalistes de globules rouges/vésicules :

$$\min_{\substack{\Omega \in \mathcal{O}_{\mathcal{E}}(\mathbb{R}^3) \\ V(\Omega) := V_0}} \frac{k_b}{2} \int_{\partial \Omega} (H - H_0)^2 \, dA + k_G \int_{\partial \Omega} K dA + \frac{k_m}{2} \left(\int_{\partial \Omega} H dA - M_0 \right)^2.$$

Perspectives : d'autres résultats d'existence

La classe des ε -boules permettrait d'approcher des modèles plus réalistes de globules rouges/vésicules :

$$\min_{\substack{\Omega \in \mathcal{O}_{\mathcal{E}}(\mathbb{R}^3) \\ V(\Omega) := V_0}} \frac{k_b}{2} \int_{\partial \Omega} (H - H_0)^2 \, dA + k_G \int_{\partial \Omega} K dA + \frac{k_m}{2} \left(\int_{\partial \Omega} H dA - M_0 \right)^2.$$

Applications en physique quantique relativiste (sac du MIT, Le Treust)

$$\inf_{\substack{\Omega \in \mathcal{O}_{\varepsilon}(\mathbb{R}^3)\\V(\Omega)=V_0}} \inf_{\substack{u \in H^1(\Omega,\mathbb{C}^2)\\\int_{\Omega}|u|^2=1\\-(\sigma\cdot n_{\partial\Omega})u=u \text{ on }\partial\Omega}} \sqrt{m^2+\int_{\Omega}\|\nabla u\|^2+\int_{\partial\Omega}\left(m+\frac{H_{\partial\Omega}}{2}\right)|u|^2dA}$$

Perspectives : d'autres résultats d'existence

La classe des ε -boules permettrait d'approcher des modèles plus réalistes de globules rouges/vésicules :

$$\min_{\substack{\Omega \in \mathcal{O}_{\mathcal{E}}(\mathbb{R}^3) \\ V(\Omega) := V_0}} \frac{k_b}{2} \int_{\partial \Omega} (H - H_0)^2 \, dA + k_G \int_{\partial \Omega} K dA + \frac{k_m}{2} \left(\int_{\partial \Omega} H dA - M_0 \right)^2.$$

Applications en physique quantique relativiste (sac du MIT, Le Treust)

$$\inf_{\substack{\Omega \in \mathcal{O}_{\varepsilon}(\mathbb{R}^3) \\ V(\Omega) = V_0}} \inf_{\substack{u \in H^1(\Omega, \mathbb{C}^2) \\ \int_{\Omega} |u|^2 = 1 \\ -(\sigma \cdot \mathbf{n}_{\partial\Omega})u = u \text{ on } \partial\Omega}} \sqrt{m^2 + \int_{\Omega} \|\nabla u\|^2 + \int_{\partial\Omega} \left(m + \frac{H_{\partial\Omega}}{2}\right) |u|^2 dA}$$

Prochaine étape : coupler la structure avec du fluide, dépendance à travers des opérateur plus généraux (elliptiques, Stokes, ...).

Perspectives : l'aspect numérique

- Existence, unicité, propriétés, régularités des minimiseurs.
- Simulations numériques adéquates (level-set, phase-field).
- Ouplage de la structure avec la dynamique d'un fluide.
- Nhéologie d'une multitude de vésicules dans un écoulement.
- Ontrôler la forme à partir d'une partie du bord.

Perspectives : l'aspect numérique

- Existence, unicité, propriétés, régularités des minimiseurs.
- Simulations numériques adéquates (level-set, phase-field).
- Ouplage de la structure avec la dynamique d'un fluide.
- Nhéologie d'une multitude de vésicules dans un écoulement.
- Contrôler la forme à partir d'une partie du bord.

Calcul effectif de solutions : compléter le tableau pour l'optimalité de la sphère, gagner en intuition, décrire les points critiques (Rivière, Nagasawa), pouvoir valider un modèle (ε -boule?).

Perspectives : l'aspect numérique

- Existence, unicité, propriétés, régularités des minimiseurs.
- Simulations numériques adéquates (level-set, phase-field).
- Ouplage de la structure avec la dynamique d'un fluide.
- Nhéologie d'une multitude de vésicules dans un écoulement.
- Contrôler la forme à partir d'une partie du bord.

Calcul effectif de solutions : compléter le tableau pour l'optimalité de la sphère, gagner en intuition, décrire les points critiques (Rivière, Nagasawa), pouvoir valider un modèle (ε -boule?).

Problèmes purement numériques : avoir des schémas qui conservent la contrainte d'aire, développement asymptotique de schémas numériques, résultats de γ -convergence, ...

Questions et discussions : merci pour votre attention!

